

(19) 日本国特許庁(JP)

(12) 特許公報(B2)

(11) 特許番号

特許第4302489号  
(P4302489)

(45) 発行日 平成21年7月29日(2009.7.29)

(24) 登録日 平成21年5月1日(2009.5.1)

| (51) Int.Cl.         | F I            |
|----------------------|----------------|
| HO4W 88/02 (2009.01) | HO4Q 7/00 646  |
| HO4W 12/04 (2009.01) | HO4Q 7/00 182  |
| HO4L 9/08 (2006.01)  | HO4L 9/00 601C |
|                      | HO4L 9/00 601E |

請求項の数 16 (全 31 頁)

|  |  |
|--|--|
| (21) 出願番号 特願2003-382854 (P2003-382854)   | (73) 特許権者 503027931<br>学校法人同志社<br>京都府京都市上京区今出川通烏丸東入玄武町601      |
| (22) 出願日 平成15年11月12日(2003.11.12)   |  |
| (65) 公開番号 特開2005-150949 (P2005-150949A)  | (73) 特許権者 393031586<br>株式会社国際電気通信基礎技術研究所<br>京都府相楽郡精華町光台二丁目2番地2 |
| (43) 公開日 平成17年6月9日(2005.6.9)   | (74) 代理人 100112715<br>弁理士 松山 隆夫                                |
| 審査請求日 平成18年8月7日(2006.8.7)  | (72) 発明者 笹岡 秀一<br>京都府京田辺市多々羅部谷1-3 同志社大学内                       |
| (出願人による申告)平成15年度通信・放送機構、研究テーマ「自律分散型無線ネットワークの研究開発」に関する委託研究、産業活力再生特別措置法第30条の適用を受ける特許出願 | (72) 発明者 森 浩樹<br>京都府京田辺市多々羅部谷1-3 同志社大学内                        |

最終頁に続く

(54) 【発明の名称】無線通信システム及びコンピュータに実行させるためのプログラム

(57) 【特許請求の範囲】

【請求項1】

指向性を電気的に切換え可能な第1のアンテナと、  
第2のアンテナと、  
前記第1及び第2のアンテナを介して無線伝送路により電波を相互に送受信する第1及び第2の無線装置と、  
前記第1の無線装置または前記第2の無線装置から電波を受信する第3の無線装置とを備え、  
前記第1の無線装置は、前記第1のアンテナの指向性が所定のパターンにより複数個に変えられたときに前記第2の無線装置から受信した複数の電波に基づいて第1の秘密鍵を生成し、  
前記第2の無線装置は、前記第1のアンテナの指向性が前記所定のパターンにより複数個に変えられたときに前記第1の無線装置から受信した複数の電波に基づいて前記第1の秘密鍵と同じ第2の秘密鍵を生成し、  
前記第3の無線装置は、前記第1のアンテナの指向性が前記所定のパターンにより複数個に変えられたときに前記第1の無線装置または前記第2の無線装置から受信した複数の電波に基づいて第3の秘密鍵を生成し、  
前記所定のパターンは、前記第1および第2の秘密鍵と前記第3の秘密鍵との相関性が最も低くなるパターンである、無線通信システム。

【請求項2】

前記第 1 の無線装置は、前記複数の電波に基づいて前記複数の電波の強度プロファイルを示す第 1 の受信信号プロファイルを生成し、その生成した第 1 の受信信号プロファイルに基づいて前記第 1 の秘密鍵を生成し、

前記第 2 の無線装置は、前記受信した複数の電波に基づいて前記複数の電波の強度プロファイルを示す第 2 の受信信号プロファイルを生成し、その生成した第 2 の受信信号プロファイルに基づいて前記第 2 の秘密鍵を生成する、請求項 1 に記載の無線通信システム。

【請求項 3】

前記第 1 のアンテナは、前記第 1 の無線装置に搭載され、

前記第 1 の無線装置は、予め決定された前記所定のパターンを保持しており、その保持した所定のパターンにより前記第 1 のアンテナの指向性を前記複数個に変える、請求項 1 または請求項 2 に記載の無線通信システム。

10

【請求項 4】

前記第 1 の無線装置は、前記第 1 の受信信号プロファイルを構成する前記複数の電波の強度を第 1 の基準値によりデジタル化して前記第 1 の秘密鍵を生成し、

前記第 2 の無線装置は、前記第 2 の受信信号プロファイルを構成する前記複数の電波の強度を第 2 の基準値によりデジタル化して前記第 2 の秘密鍵を生成する、請求項 2 または請求項 3 に記載の無線通信システム。

【請求項 5】

前記第 1 の無線装置は、1 つの基準値により前記複数の電波の強度をデジタル化して 2 値化された第 1 の秘密鍵を生成し、

20

前記第 2 の無線装置は、別の 1 つの基準値により前記複数の電波の強度をデジタル化して 2 値化された第 2 の秘密鍵を生成する、請求項 4 に記載の無線通信システム。

【請求項 6】

前記第 1 の無線装置は、複数の基準値により前記複数の電波の強度をデジタル化して多値化された第 1 の秘密鍵を生成し、

前記第 2 の無線装置は、別の複数の基準値により前記複数の電波の強度をデジタル化して多値化された第 2 の秘密鍵を生成する、請求項 4 に記載の無線通信システム。

【請求項 7】

前記第 1 及び第 2 の無線装置の各々は、ランダムなビームパターンからなる電波を前記第 1 および第 2 のアンテナを介して相互に送受信する、請求項 1 から請求項 6 のいずれか 1 項に記載の無線通信システム。

30

【請求項 8】

前記第 1 及び第 2 の無線装置の各々は、マルチビームパターンからなる電波を前記第 1 および第 2 のアンテナを介して相互に送受信する、請求項 1 から請求項 6 のいずれか 1 項に記載の無線通信システム。

【請求項 9】

前記第 1 及び第 2 の無線装置は、前記第 1 及び第 2 の秘密鍵を用いてデータを暗号及び復号して相互に通信する、請求項 1 から請求項 8 のいずれか 1 項に記載の無線通信システム。

【請求項 10】

40

2 つの秘密鍵が一致する度合いを示す相関値が最小になるように無線通信において用いられる秘密鍵の作成をコンピュータに実行させるためのプログラムであって、

指向性を電氣的に切換え可能なアレーアンテナを介して複数種類のパターンからなる指向性パターンに従って前記指向性を変えながら複数の電波を第 1 の無線装置から第 2 及び第 3 の無線装置へ送信する第 1 のステップと、

前記第 2 の無線装置が前記複数の電波の強度を検出する第 2 のステップと、

前記第 3 の無線装置が前記複数の電波の強度を検出する第 3 のステップと、

前記第 2 のステップにおいて検出された第 1 の複数の電波の強度をデジタル化して第 1 の秘密鍵を作成する第 4 のステップと、

前記第 3 のステップにおいて検出された第 2 の複数の電波の強度をデジタル化して第 2

50

の秘密鍵を作成する第5のステップと、

前記指向性パターンを複数種類に変えながら前記第1から第5のステップを所定回数繰り返して複数の第1の秘密鍵と、前記複数の第1の秘密鍵に対応する複数の第2の秘密鍵とを作成する第6のステップと、

対応する第1及び第2の秘密鍵の相関値を前記複数の第1及び第2の秘密鍵について演算し、その演算した複数の相関値から最小値を抽出する第7のステップと、

前記最小値が得られたときの前記アレーアンテナの最適指向性パターンを抽出する第8のステップと、

前記抽出された最適指向性パターンに従って前記指向性を前記複数種類に切換えながら前記複数の電波を前記第1の無線装置と前記第2の無線装置との間で送受信して前記無線通信において用いられる秘密鍵を作成する第9のステップとをコンピュータに実行させるためのプログラム。

10

【請求項11】

前記第1のステップにおいて、前記複数の電波は、マルチビームパターンのビームによって第1の無線装置から第2及び第3の無線装置へ送信される、請求項10に記載のコンピュータに実行させるためのプログラム。

【請求項12】

前記第1のステップにおいて、前記複数の電波は、ランダムビームパターンのビームによって第1の無線装置から第2及び第3の無線装置へ送信される、請求項10に記載のコンピュータに実行させるためのプログラム。

20

【請求項13】

前記第4のステップは、

前記第1の複数の電波の強度から第1の基準値を抽出する第1のサブステップと、

前記抽出された第1の基準値によって前記第1の複数の電波の強度をデジタル化して前記第1の秘密鍵を作成する第2のサブステップとを含み、

前記第5のステップは、

前記第2の複数の電波の強度から第2の基準値を抽出する第3のサブステップと、

前記抽出された第2の基準値によって前記第2の複数の電波の強度をデジタル化して前記第2の秘密鍵を作成する第4のサブステップとを含む、請求項10から請求項12のいずれか1項に記載のコンピュータに実行させるためのプログラム。

30

【請求項14】

前記第1及び第2の基準値は、1つの値からなる、請求項13に記載のコンピュータに実行させるためのプログラム。

【請求項15】

前記第1の基準値は、前記第1の複数の電波の強度の中央値であり、

前記第2の基準値は、前記第2の複数の電波の強度の中央値である、請求項14に記載のコンピュータに実行させるためのプログラム。

【請求項16】

前記第1及び第2の基準値の各々は、複数の値からなる、請求項13に記載のコンピュータに実行させるためのプログラム。

40

【発明の詳細な説明】

【技術分野】

【0001】

この発明は、無線通信システムに関し、特に、暗号化した情報を無線により通信する無線通信システム及びそれにおいて用いられるコンピュータに実行させるためのプログラムに関するものである。

【背景技術】

【0002】

最近、情報化社会の発展に伴い情報通信が益々重要になるとともに、情報の盗聴または不正利用がより深刻な問題となっている。このような情報の盗聴を防止するために従来か

50

ら情報を暗号化して送信することが行なわれている。

【 0 0 0 3 】

情報を暗号化して端末間で通信を行なう方式として公開鍵暗号方式と秘密鍵暗号方式とがある。公開鍵暗号方式は、安全性が高いが、大容量のデータの暗号化には向かない。

【 0 0 0 4 】

一方、秘密鍵暗号方式は、処理が比較的簡単であり、大容量のデータの高速暗号化も可能であるが、秘密鍵を通信の相手方に送信する必要がある。また、秘密鍵暗号方式は、同一の秘密鍵を使用し続けると、暗号解読の攻撃を受けやすく、安全性が損なわれる可能性がある。

【 0 0 0 5 】

そこで、秘密鍵を相手方に送信せずに秘密鍵を共有する方法として、2つの端末間の伝送路の特性を測定し、その測定した特性に基づいて各端末で秘密鍵を生成する方法が提案されている（非特許文献1）。

【 0 0 0 6 】

この方法は、2つの端末間でデータを送受信したときの遅延プロファイルを各端末で測定し、その測定した遅延プロファイルをアナログ信号からデジタル信号に変換して各端末で秘密鍵を生成する方法である。即ち、伝送路を伝搬する電波は可逆性を示すために、一方の端末から他方の端末へデータを送信したときの遅延プロファイルは、他方の端末から一方の端末へ同じデータを送信したときの遅延プロファイルと同じになる。従って、一方の端末で測定した遅延プロファイルに基づいて作成された秘密鍵は、他方の端末で測定した遅延プロファイルに基づいて作成された秘密鍵と同じになる。

【 0 0 0 7 】

このように、伝送路特性を用いて秘密鍵を生成する方法は、同じデータを2つの端末間で相互に送信するだけで同じ秘密鍵を共有することができる。

【非特許文献1】堀池 元樹、笹岡 秀一、「陸上移動通信路の不規則変動に基づく秘密鍵共有方式」, 信学技報, 社団法人 電子情報通信学会, 2002年10月, TECHNICAL REPORT OF IEICE RCS2002-173, p. 7 - 12

【発明の開示】

【発明が解決しようとする課題】

【 0 0 0 8 】

しかし、2つの端末間で送信されるデータを盗聴者が各端末の近傍で傍受して遅延プロファイルを測定すれば、盗聴者は、各端末で測定した遅延プロファイルに近い遅延プロファイルを取得することができる。その結果、秘密鍵が解読される可能性がある。

【 0 0 0 9 】

そこで、この発明は、かかる問題を解決するためになされたものであり、その目的は、秘密鍵の盗聴を抑制可能な無線通信システムを提供することである。

【 0 0 1 0 】

また、この発明の別の目的は、2つの秘密鍵の相関値が最小になるように無線通信システムにおいて用いられる秘密鍵の作成をコンピュータに実行させるためのプログラムを提供することである。

【課題を解決するための手段】

【 0 0 1 1 】

この発明によれば、無線通信システムは、第1及び第2のアンテナと、第1及び第2の無線装置とを備える。第1のアンテナは、指向性を電氣的に切換え可能である。第1及び第2の無線装置は、第1及び第2のアンテナを介して無線伝送路により電波を相互に送受信する。そして、第1の無線装置は、第1のアンテナの指向性が所定のパターンにより複数個に変えられたときに第2の無線装置から受信した複数の電波に基づいて第1の秘密鍵を生成する。また、第2の無線装置は、第1のアンテナの指向性が所定のパターンにより複数個に変えられたときに第1の無線装置から受信した複数の電波に基づいて第1の秘密鍵と同じ第2の秘密鍵を生成する。第1および第2の秘密鍵は、第1のアンテナの指向性

10

20

30

40

50

が所定のパターンにより複数個に変えられたときに第3の無線装置が第1の無線装置または第2の無線装置から第1のアンテナを介して受信した複数の電波に基づいて生成された第3の秘密鍵と異なる。

【0012】

好ましくは、第1の無線装置は、複数の電波に基づいて複数の電波の強度プロファイルを示す第1の受信信号プロファイルを生成し、その生成した第1の受信信号プロファイルに基づいて第1の秘密鍵を生成する。また、第2の無線装置は、受信した複数の電波に基づいて複数の電波の強度プロファイルを示す第2の受信信号プロファイルを生成し、その生成した第2の受信信号プロファイルに基づいて第2の秘密鍵を生成する。

【0013】

好ましくは、所定のパターンは、第1および第2の秘密鍵と第3の秘密鍵との相関性が最も低くなるパターンである。

【0014】

好ましくは、第1のアンテナは、第1の無線装置に搭載される。第1の無線装置は、予め決定された所定のパターンを保持しており、その保持した所定のパターンにより第1のアンテナの指向性を複数個に変える。

【0015】

好ましくは、第1の無線装置は、第1の受信信号プロファイルを構成する複数の強度を第1の基準値によりデジタル化して第1の秘密鍵を生成する。第2の無線装置は、第2の受信信号プロファイルを構成する複数の強度を第2の基準値によりデジタル化して第2の秘密鍵を生成する。

【0016】

好ましくは、第1の無線装置は、1つの基準値により複数の強度をデジタル化して2値化された第1の秘密鍵を生成する。第2の無線装置は、別の1つの基準値により複数の強度をデジタル化して2値化された第2の秘密鍵を生成する。

【0017】

好ましくは、第1の無線装置は、複数の基準値により複数の強度をデジタル化して多値化された第1の秘密鍵を生成する。第2の無線装置は、別の複数の基準値により複数の強度をデジタル化して多値化された第2の秘密鍵を生成する。

【0018】

好ましくは、第1及び第2の無線装置の各々は、ランダムなビームパターンからなる電波を第1および第2のアンテナを介して相互に送受信する。

【0019】

好ましくは、第1及び第2の無線装置の各々は、マルチビームパターンからなる電波を第1および第2のアンテナを介して相互に送受信する。

【0020】

好ましくは、第1及び第2の無線装置は、第1及び第2の秘密鍵を用いてデータを暗号及び復号して相互に通信する。

【0021】

また、この発明によれば、2つの秘密鍵が一致する度合いを示す相関値が最小になるように無線通信において用いられる秘密鍵の作成をコンピュータに実行させるためのプログラムは、指向性を電氣的に切換え可能なアレーアンテナを介して複数種類のパターンからなる指向性パターンに従ってアレーアンテナの指向性を変えながら複数の電波を第1の無線装置から第2及び第3の無線装置へ送信する第1のステップと、第2の無線装置が複数の電波の強度を検出する第2のステップと、第3の無線装置が複数の電波の強度を検出する第3のステップと、第2のステップにおいて検出された第1の複数の強度をデジタル化して第1の秘密鍵を作成する第4のステップと、第3のステップにおいて検出された第2の複数の強度をデジタル化して第2の秘密鍵を作成する第5のステップと、指向性パターンを複数種類に変えながら第1から第5のステップを所定回数繰返して複数の第1の秘密鍵と、複数の第1の秘密鍵に対応する複数の第2の秘密鍵とを作成する第6のステップと

10

20

30

40

50

、対応する第1及び第2の秘密鍵の相関値を複数の第1及び第2の秘密鍵について演算し、その演算した複数の相関値から最小値を抽出する第7のステップと、最小値が得られたときのアレーアンテナの最適指向性パターンを抽出する第8のステップと、抽出された最適指向性パターンに従って指向性を複数種類に切換えながら複数の電波を第1の無線装置と第2の無線装置との間で送受信して無線通信において用いられる秘密鍵を作成する第9のステップとをコンピュータに実行させるためのプログラムである。

【0022】

好ましくは、第1のステップにおいて、複数の電波は、マルチビームパターンのビームによって第1の無線装置から第2及び第3の無線装置へ送信される。

【0023】

好ましくは、第1のステップにおいて、複数の電波は、ランダムビームパターンのビームによって第1の無線装置から第2及び第3の無線装置へ送信される。

【0024】

好ましくは、第4のステップは、第1の複数の強度から第1の基準値を抽出する第1のサブステップと、抽出された第1の基準値によって第1の複数の強度をデジタル化して第1の秘密鍵を作成する第2のサブステップとを含む。第5のステップは、第2の複数の強度から第2の基準値を抽出する第3のサブステップと、抽出された第2の基準値によって第2の複数の強度をデジタル化して第2の秘密鍵を作成する第4のサブステップとを含む。

【0025】

好ましくは、第1及び第2の基準値は、1つの値からなる。

【0026】

好ましくは、第1の基準値は、第1の複数の強度の中央値であり、第2の基準値は、第2の複数の強度の中央値である。

【0027】

好ましくは、第1及び第2の基準値の各々は、複数の値からなる。

【発明の効果】

【0028】

この発明による無線通信システムにおいては、第1及び第2の無線装置は、第1のアンテナの指向性を複数個に変えながら所定のデータを相互に送受信して複数の電波の強度を検出し、その検出した複数の電波の強度プロファイルを示す受信信号プロファイルを生成する。そして、第1及び第2の無線装置は、各受信信号プロファイルに基づいてそれぞれ第1及び第2の秘密鍵を作成する。この場合、無線装置は、盗聴装置において作成された秘密鍵 $K_s3$ と異なる秘密鍵 $K_s1$ 、 $K_s2$ が生成されるようにアレーアンテナの指向性を複数種類に切換える。そして、第1及び第2の無線装置は、その作成した第1及び第2の秘密鍵を用いてデータを暗号及び復号して相互に無線通信を行なう。

【0029】

従って、この発明によれば、第1の無線装置と第2の無線装置との間の無線通信において用いられる秘密鍵が第3の無線装置によって盗聴されるのを抑制できる。

【発明を実施するための最良の形態】

【0030】

本発明の実施の形態について図面を参照しながら詳細に説明する。なお、図中同一または相当部分には同一符号を付してその説明は繰返さない。

【0031】

図1は、この発明の実施の形態による無線通信システムの概略図である。無線通信システム100は、無線装置10、30と、アンテナ11と、アレーアンテナ20とを備える。無線装置10は、例えば、ユーザの移動体通信端末である。また、無線装置30は、例えば、無線アクセスポイントである。盗聴装置50は、例えば、無線装置30の近くに配置される。

【0032】

10

20

30

40

50

アンテナ 11 は、無線装置 10 に装着される。そして、アンテナ 11 は、全方位性のアンテナである。アレーアンテナ 20 は、アンテナ素子 21 ~ 27 を備える。アンテナ素子 24 は、給電素子であり、アンテナ素子 21 ~ 23, 25 ~ 27 は、無給電素子である。そして、アンテナ素子 24 は、アンテナ素子 21 ~ 23, 25 ~ 27 によって取り囲まれている。無給電素子であるアンテナ素子 21 ~ 23, 25 ~ 27 は、可変容量素子であるバラクタダイオード（図示せず）が装荷されており、そのバラクタダイオードに印加する直流電圧を制御することにより、アレーアンテナ 20 は、適応ビーム形成が可能である。

【0033】

即ち、アレーアンテナ 20 は、無線装置 30 に含まれるバラクタダイオードに印加する直流電圧を変えることによって指向性を変えられる。従って、アレーアンテナ 20 は、電

10

【0034】

無線装置 10 と無線装置 30 との間で通信が行われる場合、電波は、無線装置 10 のアンテナ 11 と無線装置 30 のアレーアンテナ 20 との間を直接伝搬したり、中間物 40 による影響を受けて伝搬する。中間物 40 としては、反射物及び障害物が想定される。中間物 40 が反射物である場合、無線装置 10 のアンテナ 11 または無線装置 30 のアレーアンテナ 20 から出射した電波は、中間物 40 によって反射されて無線装置 30 のアレーアンテナ 20 または無線装置 10 のアンテナ 11 へ伝搬する。また、中間物 40 が障害物である場合、無線装置 10 のアンテナ 11 または無線装置 30 のアレーアンテナ 20 から出射した電波は、中間物 40 によって回折されて無線装置 30 のアレーアンテナ 20 または

20

【0035】

このように、電波は、無線装置 10 のアンテナ 11 と無線装置 30 のアレーアンテナ 20 との間を直接伝搬したり、中間物 40 による反射を受けて反射波として伝搬したり、中間物 40 による回折を受けて回折波として伝搬したりする。そして、電波は、無線装置 10 のアンテナ 11 または無線装置 30 のアレーアンテナ 20 から無線装置 30 のアレーアンテナ 20 または無線装置 10 のアンテナ 11 へ伝搬する場合、直接伝搬成分、反射波成分及び回折波成分が混在しており、無線装置 10 のアンテナ 11 または無線装置 30 のアレーアンテナ 20 から無線装置 30 のアレーアンテナ 20 または無線装置 10 のアンテナ 11 へ伝搬した電波がどのような成分により構成されるかによって無線装置 10 と無線装

30

【0036】

この発明においては、無線装置 10 と無線装置 30 との間で通信が行なわれる場合、アレーアンテナ 20 の指向性を複数個に変えて時分割復信 (TDD: Time Division Duplex) により所定のデータが同一の周波数で無線装置 10, 30 間で送受信される。そして、無線装置 10, 30 は、アレーアンテナ 20 の指向性を複数個に変えたときの複数の電波の強度を示す受信信号プロファイル RSSI を生成し、その生成した受信信号プロファイル RSSI に基づいて秘密鍵を作成する。

【0037】

より具体的には、無線装置 10, 30 は、盗聴装置 50 がアンテナ 51 を介して無線装

40

【0038】

秘密鍵が無線装置 10, 30 において生成されると、無線装置 10, 30 は、生成した秘密鍵により情報を暗号化して相手方へ送信し、相手方から受信した暗号化情報を復号して情報を取得する。

【0039】

図 2 は、図 1 に示す一方の無線装置 10 の内部構成を示す概略ブロック図である。無線装置 10 は、信号発生部 110 と、送信処理部 120 と、アンテナ部 130 と、受信処理部 140 と、プロファイル生成部 150 と、鍵作成部 160 と、鍵一致確認部 170 と、

50

鍵記憶部 180 と、鍵一致化部 190 と、暗号部 200 と、復号部 210 とを含む。

【0040】

信号発生部 110 は、秘密鍵を生成するときに無線装置 30 へ送信するための所定の信号を生成し、その生成した所定の信号を送信処理部 120 へ出力する。送信処理部 120 は、変調、周波数変換、多元接続及び送信信号の増幅等の送信系の処理を行なう。アンテナ部 130 は、図 1 に示すアンテナ 11 からなり、送信処理部 120 からの送信信号を無線装置 30 へ送信し、無線装置 30 からの受信信号を受信して受信処理部 140 並びにプロファイル生成部 150 へ供給する。

【0041】

受信処理部 140 は、受信信号の増幅、多元接続、周波数変換及び復調等の受信系の処理を行なう。そして、受信処理部 140 は、受信処理を行なった信号を必要に応じて鍵一致確認部 170、鍵一致化部 190 及び復号部 210 へ出力する。

10

【0042】

プロファイル生成部 150 は、図 1 に示すアレーアンテナ 20 の指向性を複数個に変えたときの複数の電波をアンテナ部 130 から順次受け、その受けた複数の電波の強度を検出する。そして、プロファイル生成部 150 は、検出した複数の強度からなる受信信号プロファイル RSSI を生成して鍵作成部 160 へ出力する。

【0043】

鍵作成部 160 は、プロファイル生成部 150 からの受信信号プロファイル RSSI に基づいて秘密鍵 Ks1 を作成する。より具体的には、鍵作成部 160 は、受信信号プロファイル RSSI を 1 個または複数個の基準値によりデジタル化して秘密鍵 Ks1 を作成する。鍵作成部 160 は、受信信号プロファイル RSSI を 1 個の基準値によりデジタル化する場合、複数の強度の中央値を基準値として用いる。そして、鍵作成部 160 は、作成した秘密鍵 Ks1 を鍵一致確認部 170 及び鍵一致化部 190 へ出力する。

20

【0044】

鍵一致確認部 170 は、鍵一致確認用のデータを送信処理部 120、アンテナ部 130 及び受信処理部 140 を介して無線装置 30 と送受信し、鍵作成部 160 によって作成された秘密鍵 Ks1 が無線装置 30 において作成された秘密鍵 Ks2 に一致するか否かを後述する方法によって確認する。そして、鍵一致確認部 170 は、秘密鍵 Ks1 が秘密鍵 Ks2 に一致することを確認したとき、秘密鍵 Ks1 を鍵記憶部 180 に記憶する。また、鍵一致確認部 170 は、秘密鍵 Ks1 が秘密鍵 Ks2 に不一致であることを確認したとき、不一致信号 NMTH を生成して鍵一致化部 190 へ出力する。

30

【0045】

鍵記憶部 180 は、鍵一致確認部 170 及び鍵一致化部 190 からの秘密鍵 Ks1 を記憶する。また、鍵記憶部 180 は、記憶した秘密鍵 Ks1 を暗号部 200 及び復号部 210 へ出力する。なお、鍵記憶部 180 は、秘密鍵 Ks1 を一時的、例えば、無線装置 30 との通信の間だけ記憶するようにしてもよい。

【0046】

一方、鍵一致化部 190 は、鍵一致確認部 170 から不一致信号 NMTH を受けると、後述する方法によって秘密鍵 Ks1 を秘密鍵 Ks2 に一致させる。そして、鍵一致化部 190 は、一致させた秘密鍵が秘密鍵 Ks2 に一致することを鍵一致確認部 170 における方法と同じ方法によって確認する。

40

【0047】

暗号部 200 は、送信データを鍵記憶部 180 に記憶された秘密鍵 Ks1 によって暗号化して送信処理部 120 へ出力する。復号部 210 は、受信処理部 140 からの受信信号を鍵記憶部 180 からの秘密鍵 Ks1 によって復号して受信データを生成する。

【0048】

図 3 は、図 1 に示す他方の無線装置 30 の概略ブロック図である。無線装置 30 は、無線装置 10 のアンテナ部 130 をアンテナ部 220 に代え、指向性設定部 230、鍵受信部 240 及び鍵関連処理部 250 を追加したものであり、その他は、図 2 に示す無線装置

50



10と同じである。

【0049】

なお、無線装置30のプロファイル生成部150は、アレーアンテナ20の指向性を複数個に変えたときの複数の電波をアンテナ部220から順次受け、その受けた複数の電波の強度を検出する。そして、プロファイル生成部150は、検出した複数の強度からなる受信信号プロファイルRSSIを生成して鍵作成部160へ出力する。

【0050】

アンテナ部220は、図1に示すアレーアンテナ20からなる。そして、アンテナ部220は、送信処理部120からの送信信号を指向性設定部230によって設定された指向性で無線装置10へ送信し、無線装置10からの受信信号を指向性設定部230によって設定された指向性で受信して受信処理部140またはプロファイル生成部150または鍵受信部240へ出力する。

10

【0051】

指向性設定部230は、アンテナ部220の指向性を設定する。また、指向性設定部230は、無線装置10, 30において秘密鍵Ks1, Ks2を生成するとき、鍵相関処理部250からの信号PTMに応じて、後述する方法により所定の指向性パターンに従ってアンテナ部220の指向性を順次切替える。この信号PTMは、秘密鍵Ks1, Ks2と、盗聴装置50において作成された秘密鍵Ks3との相関値が最小となるときの指向性パターンを示す信号である。

【0052】

更に、指向性設定部230は、アンテナ部220の指向性を变化させる所定の指向性パターンを決定するとき、後述する方法によって、アンテナ部220の指向性パターンを複数種類に変える。

20

【0053】

鍵受信部240は、アンテナ部220が受信した盗聴装置50の秘密鍵Ks3をアンテナ部220から受け、その受けた秘密鍵Ks3を鍵相関処理部250へ出力する。鍵相関処理部250は、鍵作成部160からの秘密鍵Ks2と鍵受信部240からの秘密鍵Ks3との相関値を後述する方法によって演算し、その相関値が最小となるときのアンテナ部220の指向性パターンを決定し、その決定した指向性パターンを示す信号PTMを生成して指向性設定部230へ出力する。

30

【0054】

図4は、図3に示す指向性設定部230の概略ブロック図である。指向性設定部230は、制御電圧発生回路231と、バラクタダイオード232とを含む。制御電圧発生回路231は、制御電圧CLV1~CLVn(nは自然数)を順次発生し、その発生した制御電圧CLV1~CLVnをバラクタダイオード232へ順次出力する。バラクタダイオード232は、制御電圧CLV1~CLVnに応じて無給電素子であるアンテナ素子21~23, 25~27に装荷される容量を変え、アレーアンテナ20の指向性を複数個に順次変える。

【0055】

図5は、図1に示す盗聴装置50の概略ブロック図である。盗聴装置50は、アンテナ部310と、プロファイル生成部320と、鍵作成部330と、鍵送信部340とを含む。アンテナ部310は、図1に示すアンテナ51に相当する。アンテナ部310は、無線装置10または30から複数の電波を受信し、その受信した複数の電波をプロファイル生成部320へ出力する。また、アンテナ部310は、鍵送信部340からの秘密鍵Ks3を無線装置30へ出力する。

40

【0056】

プロファイル生成部320は、アンテナ部310からの複数の電波の強度を検出して受信信号プロファイルRSSIを生成し、その生成した受信信号プロファイルRSSIを鍵作成部330へ出力する。

【0057】

50

鍵作成部 330 は、プロフィール生成部 320 からの受信信号プロフィール R S S I を基準値によりデジタル化して秘密鍵 K s 3 を作成し、その作成した秘密鍵 K s 3 を鍵送信部 340 へ出力する。

【 0058 】

鍵送信部 340 は、鍵作成部 330 からの秘密鍵 K s 3 に対して変調、周波数変換、多元接続及び送信信号の増幅等の送信系の処理を行ない、その処理を施した秘密鍵 K s 3 をアンテナ部 310 へ出力する。

【 0059 】

図 6 は、図 2 及び図 3 に示す鍵一致確認部 170 の概略ブロック図である。鍵一致確認部 170 は、データ発生部 171 と、データ比較部 172 と、結果処理部 173 とを含む。なお、無線装置 10, 30 の鍵一致確認部 170 は、同じ構成からなるが、図 6 においては、秘密鍵 K s 1 が秘密鍵 K s 2 に一致することを確認する動作を説明するために、無線装置 30 においてはデータ発生部 171 のみを示す。

10

【 0060 】

無線装置 10 のデータ発生部 171 は、鍵作成部 160 から秘密鍵 K s 1 を受けると、秘密鍵 K s 1 が秘密鍵 K s 2 に一致することを確認するための鍵確認用データ D C F M 1 を発生し、その発生した鍵確認用データ D C F M 1 を送信処理部 120 及びデータ比較部 172 へ出力する。

【 0061 】

この場合、データ発生部 171 は、秘密鍵 K s 1 から非可逆的な演算及び一方向的な演算等により、鍵確認用データ D C F M 1 を発生する。より具体的には、データ発生部 171 は、秘密鍵 K s 1 または K s 2 のハッシュ値を演算することにより、鍵確認用データ D C F M 1 を発生する。

20

【 0062 】

データ比較部 172 は、データ発生部 171 から鍵確認用データ D C F M 1 を受け、無線装置 30 のデータ発生部 171 で発生された鍵確認用データ D C F M 2 を受信処理部 140 から受ける。そして、データ比較部 172 は、鍵確認用データ D C F M 1 を鍵確認用データ D C F M 2 と比較する。データ比較部 172 は、鍵確認用データ D C F M 1 が鍵確認用データ D C F M 2 に一致するとき、一致信号 M T H を生成して結果処理部 173 へ出力する。

30

【 0063 】

また、データ比較部 172 は、鍵確認用データ D C F M 1 が鍵確認用データ D C F M 2 に不一致であるとき、不一致信号 N M T H を生成する。そして、データ比較部 172 は、不一致信号 N M T H を鍵一致化部 190 へ出力し、不一致信号 N M T H を送信処理部 120 及びアンテナ部 130 を介して無線装置 30 へ送信する。

【 0064 】

結果処理部 173 は、データ比較部 172 から一致信号 M T H を受けると、鍵作成部 160 から受けた秘密鍵 K s 1 を鍵記憶部 180 へ送って記憶する。

【 0065 】

図 7 は、図 2 及び図 3 に示す鍵一致化部 190 の概略ブロック図である。鍵一致化部 190 は、擬似シンドローム作成部 191 と、不一致ビット検出部 192 と、鍵不一致訂正部 193 と、データ発生部 194 と、データ比較部 195 と、結果処理部 196 とを含む。

40

【 0066 】

なお、無線装置 10, 30 の鍵一致化部 190 は、同じ構成からなるが、図 7 においては、秘密鍵 K s 1 を秘密鍵 K s 2 に一致させる動作を説明するために、無線装置 30 においては擬似シンドローム作成部 191 のみを示す。

【 0067 】

擬似シンドローム作成部 191 は、鍵一致確認部 170 のデータ比較部 172 から不一致信号 N M T H を受けると、鍵作成部 160 から受けた秘密鍵 K s 1 のシンドローム  $x_1$

50

を演算する。より具体的には、擬似シンドローム作成部 191 は、秘密鍵  $K_{s1}$  のビットパターン  $x_1$  を検出し、ビットパターン  $x_1$  に対して検査行列  $H$  を乗算してシンドローム  $s_1 = x_1 H^T$  を演算する。そして、擬似シンドローム作成部 191 は、ビットパターン  $x_1$  を鍵不一致訂正部 193 へ出力し、演算したシンドローム  $s_1 = x_1 H^T$  を不一致ビット検出部 192 へ出力する。

【0068】

なお、これらの演算は、 $\text{mod } 2$  の演算であり、 $H^T$  は、検査行列  $H$  の転置行列である。

【0069】

不一致ビット検出部 192 は、擬似シンドローム作成部 191 からシンドローム  $s_1$  を受け、無線装置 30 の擬似シンドローム作成部 191 によって演算されたシンドローム  $s_2 = x_2 H^T$  を受信処理部 140 から受ける。そして、不一致ビット検出部 192 は、シンドローム  $s_1$  とシンドローム  $s_2$  との差分  $s = s_1 - s_2$  を演算する。

【0070】

なお、秘密鍵  $K_{s1}$ 、 $K_{s2}$  のビットパターンの差分（鍵不一致のビットパターン）を  $e = x_1 - x_2$  とすると、 $s = e H^T$  の関係が成立する。 $s = 0$  の場合、 $e = 0$  となり、秘密鍵  $K_{s1}$  のビットパターンは、秘密鍵  $K_{s2}$  のビットパターンに一致する。

【0071】

不一致ビット検出部 192 は、演算した差分  $s$  が 0 でないとき（即ち、 $e \neq 0$  のとき）、鍵不一致のビットパターン  $e$  を鍵不一致訂正部 193 へ出力する。

【0072】

鍵不一致訂正部 193 は、擬似シンドローム作成部 191 からビットパターン  $x_1$  を受けるとともに不一致ビット検出部 192 から鍵不一致のビットパターン  $e$  を受け、ビットパターン  $x_1$  から鍵不一致のビットパターン  $e$  を減算することにより相手方の秘密鍵のビットパターン  $x_2 = x_1 - e$  を演算する。

【0073】

このように、鍵一致化部 190 は、秘密鍵  $K_{s1}$ 、 $K_{s2}$  の不一致を誤りと見なして誤り訂正の応用により秘密鍵  $K_{s1}$ 、 $K_{s2}$  の不一致を解消する。

【0074】

この秘密鍵を一致させる方法は、鍵不一致のビット数が誤り訂正能力以上である場合に鍵の一致化に失敗する可能性があるため、鍵一致化の動作を行なった後に鍵一致の確認を行なう必要がある。

【0075】

データ発生部 194 は、一致化後の鍵  $x_2 = x_1 - e$  を鍵不一致訂正部 193 から受けると、鍵  $x_2$  に基づいて鍵確認用データ  $DCFM3$  を発生させ、その発生させた鍵確認用データ  $DCFM3$  をデータ比較部 195 へ出力する。また、データ発生部 194 は、発生させた鍵確認用データ  $DCFM3$  を送信処理部 120 及びアンテナ部 130 を介して無線装置 30 へ送信する。

【0076】

なお、データ発生部 194 は、鍵一致確認部 170 のデータ発生部 171 による鍵確認用データ  $DCFM1$  の発生方法と同じ方法により鍵確認用データ  $DCFM3$  を発生する。

【0077】

データ比較部 195 は、データ発生部 194 から鍵確認用データ  $DCFM3$  を受けるとともに無線装置 30 で発生された鍵確認用データ  $DCFM4$  を受信処理部 140 から受ける。そして、データ比較部 195 は、鍵確認用データ  $DCFM3$  を鍵確認用データ  $DCFM4$  と比較する。

【0078】

データ比較部 195 は、鍵確認用データ  $DCFM3$  が鍵確認用データ  $DCFM4$  に一致するとき、一致信号  $MTH$  を生成して結果処理部 196 へ出力する。

【0079】

10

20

30

40

50

また、データ比較部 195 は、鍵確認用データ DCFM3 が鍵確認用データ DCFM4 に不一致であるとき、不一致信号 NMTH を生成する。そして、データ比較部 195 は、不一致信号 NMTH を送信処理部 120 及びアンテナ部 130 を介して無線装置 30 へ送信する。

【0080】

結果処理部 196 は、データ比較部 195 から一致信号 MTH を受けると、鍵不一致訂正部 193 から受けた鍵  $x_2 = x_1 - e$  を鍵記憶部 180 へ送って記憶する。

【0081】

このように、データ発生部 194、データ比較部 195 及び結果処理部 196 は、鍵一致確認部 170 における確認方法と同じ方法によって一致化が施された鍵の一致を確認する。

10

【0082】

図 8 は、受信信号プロファイル RSSI の概念図である。無線装置 30 の指向性設定部 230 の制御電圧発生回路 231 は、各々が電圧  $V_1 \sim V_6$  からなる制御電圧  $CLV_1 \sim CLV_n$  を順次発生してバラクタダイオード 232 へ出力する。この場合、電圧  $V_1 \sim V_6$  は、それぞれ、アンテナ素子 21 ~ 23, 25 ~ 27 に装荷される容量を変えるための電圧であり、0 ~ 20V の範囲で変えられる。

【0083】

バラクタダイオード 232 は、パターン P1 からなる制御電圧  $CLV_1$  に応じてアレーアンテナ 20 の指向性のある 1 つの指向性に設定する。そして、アレーアンテナ 20 は、設定された指向性で無線装置 10 からの電波を受信してプロファイル生成部 150 へ供給する。プロファイル生成部 150 は、アレーアンテナ 20 (アンテナ部 220) から受けた電波の強度  $WI_1$  を検出する。

20

【0084】

次に、バラクタダイオード 232 は、パターン P2 からなる制御電圧  $CLV_2$  に応じてアレーアンテナ 20 の指向性を別の指向性に設定する。そして、アレーアンテナ 20 は、設定された指向性で無線装置 10 からの電波を受信してプロファイル生成部 150 へ供給する。プロファイル生成部 150 は、アレーアンテナ 20 (アンテナ部 220) から受けた電波の強度  $WI_2$  を検出する。

【0085】

以後、同様にして、バラクタダイオード 232 は、それぞれ、パターン P3 ~ Pn からなる制御電圧  $CLV_3 \sim CLV_n$  に応じてアレーアンテナ 20 の指向性を順次変える。そして、アレーアンテナ 20 は、各々設定された指向性で無線装置 10 からの電波を受信してプロファイル生成部 150 へ供給する。プロファイル生成部 150 は、アレーアンテナ 20 (アンテナ部 220) から受けた電波の強度  $WI_3 \sim WI_n$  を順次検出する。

30

【0086】

なお、パターン P1 ~ Pn は、秘密鍵  $K_{s1}$ ,  $K_{s2}$  と秘密鍵  $K_{s3}$  との相関値が最小となるときの制御電圧パターン  $P_{1opt} \sim P_{nopt}$  である。

【0087】

そして、プロファイル生成部 150 は、強度  $WI_1 \sim WI_n$  からなる強度プロファイルを示す受信信号プロファイル RSSI を生成して鍵作成部 160 へ出力する。

40

【0088】

パターン P1 ~ Pn によってアレーアンテナ 20 の指向性を複数個に順次切換えて無線装置 30 から無線装置 10 へデータを送信したとき、無線装置 10 のプロファイル生成部 150 が受信信号プロファイル RSSI を生成する。

【0089】

鍵作成部 160 は、プロファイル生成部 150 から受信信号プロファイル RSSI を受け、受信信号プロファイル RSSI から中央値  $W_{icent} (= WI_7)$  を検出する。この中央値  $W_{icent} (= WI_7)$  は、複数の強度  $WI_1 \sim WI_n$  を強度の高い順に並べたときの中央値である。そして、鍵作成部 160 は、中央値  $W_{icent} (= WI_7)$  に

50

よって受信信号プロファイルRSSIをデジタル化し、各強度WI1~WInを2値化する。鍵作成部160は、2値化した各値を検出し、その検出した各値をビットパターンとする秘密鍵Ks1またはKs2を作成する。

【0090】

図9は、図8に示すパターンP1~Pnを決定するための制御電圧パターンと受信信号プロファイルを示す図である。秘密鍵Ks1、Ks2と秘密鍵Ks3との相関値が最小になる制御電圧パターンP1~Pnを決定する場合、制御電圧パターンは、制御電圧パターンP11~Pn1、P12~Pn2、・・・、P1j~Pnj(jは、自然数)に従って変えられる。

【0091】

制御電圧パターンP11~Pn1、P12~Pn2、・・・、P1j~Pnjの各々は、電圧V1~V6からなる。無給電素子21~23、25~27に印加される電圧が制御電圧パターンP11~Pn1、P12~Pn2、・・・、P1j~Pnjに従って変えられるとき、アレーアンテナ20の指向性パターンは、指向性パターンD11~Dn1、D12~Dn2、・・・、D1j~Dnjと変えられる。

【0092】

無線装置30は、制御電圧パターンP11~Pn1、P12~Pn2、・・・、P1j~Pnjに従ってアレーアンテナ20の指向性パターンを変化させて所定の信号を構成する電波を無線装置10との間で送受信する。この場合、電波は、盗聴装置50にも到達する。

【0093】

この場合、無線装置10、30は、制御電圧パターンP11~Pn1; P12~Pn2; ...; P1j~Pnjに対応して受信信号プロファイルRSSI11, RSSI21, ... , RSSIj1を受信し、盗聴装置50は、制御電圧パターンP11~Pn1; P12~Pn2; ...; P1j~Pnjに対応して受信信号プロファイルRSSI13, RSSI23, ... , RSSIj3を受信する。

【0094】

そして、無線装置10、30は、受信信号プロファイルRSSI11, RSSI21, ... , RSSIj1を基準値によってデジタル化してそれぞれ秘密鍵Ks11~Ks1j, Ks21~Ks2jを作成し、盗聴装置50は、受信信号プロファイルRSSI13, RSSI23, ... , RSSIj3を基準値によってデジタル化して秘密鍵Ks31~Ks3jを作成する。

【0095】

図10は、2つの秘密鍵の相関値を演算する概念図である。秘密鍵60と秘密鍵70との相関値を演算するとき、秘密鍵60を構成する各ビットを順番に抽出し、その抽出したビットに対応する秘密鍵70の各ビットを順番に抽出する。そして、対応する2つのビットを比較し、2つのビットが一致するとき「1」を加算し、2つのビットが不一致であるとき「0」を加算して和を演算する。和の演算後、その和をサンプル数で除算して加算平均を演算する。そして、この加算平均を秘密鍵60と秘密鍵70との相関値とする。

【0096】

具体的には、秘密鍵60の最初のビットである「0」と秘密鍵70の最初のビットである「0」とを抽出し、両者が一致しているので、「1」を加算し、次に、秘密鍵60のビット「1」と秘密鍵70のビット「1」とを抽出し、両者が一致しているので「1」を加算して和「2」を演算する。

【0097】

その後、秘密鍵60のビット「1」と秘密鍵70のビット「0」とを抽出し、両者が不一致であるので、「0」を加算して和「2」を演算する。以下、同様にして和を演算して加算平均を演算する。

【0098】

10

20

30

40

50

制御電圧パターンが制御電圧パターン  $P_{11} \sim P_{n1}$ ;  $P_{12} \sim P_{n2}$ ;  $\dots$ ;  $P_{1j} \sim P_{nj}$  に従って変えられるとき、無線装置 10, 30 においてそれぞれ秘密鍵  $K_{s11} \sim K_{s1j}$ ,  $K_{s21} \sim K_{s2j}$  が生成され、盗聴装置 50 において秘密鍵  $K_{s31} \sim K_{s3j}$  が生成される。

【0099】

秘密鍵  $K_{s11} \sim K_{s1j}$  は、秘密鍵  $K_{s21} \sim K_{s2j}$  と同じであるので、例えば、秘密鍵  $K_{s21} \sim K_{s2j}$  と秘密鍵  $K_{s31} \sim K_{s3j}$  との相関値  $1 \sim j$  を上述した方法によって演算する。

【0100】

そして、相関値  $1 \sim j$  から最小値  $min$  を検出し、最小値  $min$  が得られるときの制御電圧パターンを制御電圧パターン  $P_1 \sim P_n$  として決定する。例えば、図 9 に示す制御電圧パターン  $P_{12} \sim P_{n2}$  のときに最小値  $min$  が得られたとすると、制御電圧パターン  $P_{12} \sim P_{n2}$  を制御電圧パターン  $P_1 \sim P_n$  として決定する。

10

【0101】

図 3 に示す無線装置 30 の指向性設定部 230 は、図 9 に示す制御電圧パターン  $P_{11} \sim P_{n1}$ ;  $P_{12} \sim P_{n2}$ ;  $\dots$ ;  $P_{1j} \sim P_{nj}$  を保持しており、制御電圧パターン  $P_1 \sim P_n$  を決定する場合、制御電圧パターン  $P_{11} \sim P_{n1}$ ;  $P_{12} \sim P_{n2}$ ;  $\dots$ ;  $P_{1j} \sim P_{nj}$  に従ってアレーアンテナ 20 (アンテナ部 220) の指向性パターンを順次変える。

【0102】

20

また、図 3 に示す無線装置 30 の鍵関連処理部 250 も、制御電圧パターン  $P_{11} \sim P_{n1}$ ;  $P_{12} \sim P_{n2}$ ;  $\dots$ ;  $P_{1j} \sim P_{nj}$  を保持しており、制御電圧パターン  $P_{11} \sim P_{n1}$ ;  $P_{12} \sim P_{n2}$ ;  $\dots$ ;  $P_{1j} \sim P_{nj}$  の順番に従って秘密鍵  $K_{s21} \sim K_{s2j}$  が鍵作成部 160 から順次入力され、制御電圧パターン  $P_{11} \sim P_{n1}$ ;  $P_{12} \sim P_{n2}$ ;  $\dots$ ;  $P_{1j} \sim P_{nj}$  の順番に従って秘密鍵  $K_{s31} \sim K_{s3j}$  が鍵受信部 240 から順次入力されることを認識する。

【0103】

そして、鍵関連処理部 250 は、秘密鍵  $K_{s21}$  及び  $K_{s31}$  を受けると、秘密鍵  $K_{s21}$  と秘密鍵  $K_{s31}$  との相関値  $1$  を上述した方法によって演算し、記憶する。鍵関連処理部 250 は、相関値  $1 \sim j$  の全てを演算すると、相関値  $1 \sim j$  から最小値  $min$  を検出し、その最小値  $min$  が得られたときの制御電圧パターン  $P_1 \sim P_n$  を検出する。最小値  $min$  が秘密鍵  $K_{s22}$  と秘密鍵  $K_{s32}$  との相関値であるならば、鍵関連処理部 250 は、最小値  $min$  が得られたときの制御電圧パターン  $P_1 \sim P_n$  として制御電圧パターン  $P_{12} \sim P_{n2}$  を検出する。

30

【0104】

そして、鍵関連処理部 250 は、制御電圧パターン  $P_{12} \sim P_{n2}$  が制御電圧パターン  $P_1 \sim P_n$  であることを示す信号  $PTM$  を生成して指向性設定部 230 へ出力する。指向性設定部 230 は、無線装置 10 と無線装置 30 との通信においては、制御電圧パターン  $P_{12} \sim P_{n2}$  に従ってアレーアンテナ 20 (アンテナ部 220) の指向性を順次変える。これにより、無線装置 10, 30 は、秘密鍵  $K_{s3}$  との相関値  $1$  が最小である秘密鍵  $K_{s1}$ ,  $K_{s2}$  を作成し、その作成した秘密鍵  $K_{s1}$ ,  $K_{s2}$  を用いて相互にデータを無線通信する。

40

【0105】

図 11 は、盗聴装置 50 において作成される秘密鍵  $K_{s3}$  との相関値が最小である秘密鍵  $K_{s1}$ ,  $K_{s2}$  を無線装置 10, 30 において作成するためのアレーアンテナ 20 の指向性パターンを決定する動作を説明するためのフローチャートである。

【0106】

一連の動作が開始されると、無線装置 30 の送信処理部 120 は、 $k = 1$ ,  $r = 1$ ,  $p = 1$  を設定する (ステップ S1)。なお、 $k$  は、指向性パターンの個数を表し、 $r$  は、変化させる制御電圧パターンの個数を表し、 $p$  は、無線装置 30 を移動させる位置数を表す

50

。そして、 $k$  は、 $1 \sim n$  の範囲の自然数であり、 $r$  は、 $1 \sim j$  の範囲の自然数であり、 $p$  は、 $1 \sim m$  の範囲の自然数である。

【0107】

ステップS1の後、無線装置30の指向性設定部230は、制御電圧パターンP11～Pn1の電圧V1～V6をバラクタダイオード232へ出力し、アレーアンテナ20（アンテナ部220）の指向性を指向性D111に設定する（ステップS2）。そして、無線装置10の信号発生部110は、所定の信号を発生して送信処理部120へ出力する。送信処理部120は、所定の信号に変調等の処理を施し、アンテナ11を介して無線装置30へ所定の信号を構成する電波を送信する（ステップS3）。無線装置30のアレーアンテナ20は、ステップS2において設定された指向性D111で電波を受信し、その受信した電波をプロファイル生成部150へ出力する。プロファイル生成部150は、アレーアンテナ20から受けた電波の強度 $I_{1kr}$ を検出する（ステップS4）。

10

【0108】

その後、無線装置30の信号発生部110は、所定の信号を発生して送信処理部120へ出力する。送信処理部120は、所定の信号に変調等の処理を施し、アレーアンテナ20を介して無線装置10及び盗聴装置50へ所定の信号を構成する電波を送信する（ステップS5）。無線装置10において、アンテナ11は、無線装置30からの電波を受信し、その受信した電波をプロファイル生成部150へ出力する。プロファイル生成部150は、アンテナ11から受けた電波の強度 $I_{2kr}$ を検出する（ステップS6）。また、盗聴装置50において、アンテナ51は、無線装置30からの電波を受信し、その受信した電波をプロファイル生成部320へ出力する（図5参照）。プロファイル生成部320は、アンテナ51から受信した電波の強度 $I_{3kr}$ を検出する（ステップS7）。

20

【0109】

その後、無線装置30の送信処理部120は、 $k = n$ であるか否かを判定し（ステップS8）、 $k = n$ でないとき、 $k = k + 1$ を設定する（ステップS9）。そして、ステップS8において、 $k = n$ であると判定されるまで、ステップS2～ステップS9が繰り返し実行される。

【0110】

これにより、無線装置30のプロファイル生成部150は、複数の強度 $I_{11r} \sim I_{1nr}$ を検出し、無線装置10のプロファイル生成部150は、複数の強度 $I_{21r} \sim I_{2nr}$ を検出し、盗聴装置50のプロファイル生成部320は、複数の強度 $I_{31r} \sim I_{3nr}$ を検出する。即ち、無線装置30及び盗聴装置50は、図9に示す制御電圧パターンP11～Pn1に対応して、それぞれ、複数の強度 $I_{21r} \sim I_{2nr}$ 及び複数の強度 $I_{31r} \sim I_{3nr}$ を検出する。

30

【0111】

ステップS8において、 $k = n$ であると判定されると、無線装置30の鍵作成部160は、プロファイル生成部150から複数の強度 $I_{11r} \sim I_{1nr}$ を受け、その受けた複数の強度 $I_{11r} \sim I_{1nr}$ から中央値を検出する。そして、鍵作成部160は、複数の強度 $I_{11r} \sim I_{1nr}$ を中央値によってデジタル化して秘密鍵 $K_{s2rp}$ を作成する（ステップS10）。即ち、無線装置30は、図9に示す受信信号プロファイルRSS11に対応して秘密鍵 $K_{s2rp}$ を作成する。

40

【0112】

そして、盗聴装置50の鍵作成部330は、プロファイル生成部320から複数の強度 $I_{31r} \sim I_{3nr}$ を受け、その受けた複数の強度 $I_{31r} \sim I_{3nr}$ から中央値を検出する。そして、鍵作成部330は、複数の強度 $I_{31r} \sim I_{3nr}$ を中央値によってデジタル化して秘密鍵 $K_{s3rp}$ を作成する（ステップS11）。即ち、盗聴装置50は、図9に示す受信信号プロファイルRSS13に対応して秘密鍵 $K_{s3rp}$ を作成する。

【0113】

その後、無線装置30の送信処理部120は、 $r = j$ であるか否かを判定し（ステップ

50

S 1 2)、 $r = j$ でないとき、 $r = r + 1$ を設定する(ステップS 1 3)。そして、ステップS 1 2において、 $r = j$ であると判定されるまで、ステップS 2 ~ステップS 1 3が繰り返し実行される。

【0114】

これにより、無線装置30の鍵作成部160は、複数の秘密鍵 $K_{s11p} \sim K_{s1jp}$ を作成し、盗聴装置50の鍵作成部330は、複数の秘密鍵 $K_{s31p} \sim K_{s3jp}$ を作成する。即ち、無線装置30は、図9に示す受信信号プロファイル $R_{SSI11} \sim R_{SSIj1}$ に対応して複数の秘密鍵 $K_{s11p} \sim K_{s1jp}$ を作成し、盗聴装置50は、図9に示す受信信号プロファイル $R_{SSI13} \sim R_{SSIj3}$ に対応して複数の秘密鍵 $K_{s31p} \sim K_{s3jp}$ を作成する。

10

【0115】

そして、ステップS 1 2において、 $r = j$ であると判定されると、盗聴装置50の鍵作成部330は、作成した秘密鍵 $K_{s31p} \sim K_{s3jp}$ を鍵送信部340へ出力する。鍵送信部340は、秘密鍵 $K_{s31p} \sim K_{s3jp}$ に対して上述した送信系の処理を施し、アンテナ51(アンテナ部310)を介して秘密鍵 $K_{s31p} \sim K_{s3jp}$ を無線装置30へ送信する(ステップS 1 4)。無線装置30のアンテナ11(アンテナ部220)は、盗聴装置50から秘密鍵 $K_{s31p} \sim K_{s3jp}$ を受信し(ステップS 1 5)、その受信した秘密鍵 $K_{s31p} \sim K_{s3jp}$ を鍵受信部240へ出力する。そして、鍵受信部240は、アンテナ11(アンテナ部220)から受けた秘密鍵 $K_{s31p} \sim K_{s3jp}$ を鍵相関処理部250へ出力する。

20

【0116】

その後、無線装置30の鍵相関処理部250は、ステップS 1 0において作成された秘密鍵 $K_{s11p} \sim K_{s1jp}$ を鍵作成部160から受け、その受けた秘密鍵 $K_{s11p} \sim K_{s1jp}$ と鍵受信部240からの秘密鍵 $K_{s31p} \sim K_{s3jp}$ との相関値 $1 \sim j$ を上述した方法によって演算し、その演算した相関値 $1 \sim j$ から最小値 $min$ を検出する。鍵相関処理部250は、最小値 $min$ を検出すると、最小値 $min$ が得られたときの制御電圧パターン $P_{11min} \sim P_{1nmin}$ を上述した方法により抽出する。そして、鍵相関処理部250は、抽出した制御電圧パターン $P_{11min} \sim P_{1nmin}$ が制御電圧パターン $P_{1opt} \sim P_{nopt}$ であることを示す信号PTMを生成して指向性設定部230へ出力する。これにより、無線装置30は、最小値 $min$ が得られたときの指向性パターン $D_p$ を抽出する(ステップS 1 7)。

30

【0117】

その後、無線装置30の送信処理部120は、 $p = m$ であるか否かを判定し(ステップS 1 8)、 $p = m$ でないとき、 $p = p + 1$ を設定する(ステップS 1 9)。そして、ステップS 1 8において、 $p = m$ であると判定されるまで、ステップS 2 ~ステップS 1 9が繰り返し実行される。

【0118】

これにより、無線装置30は、 $m$ 個の指向性パターン $D_1 \sim D_m$ を抽出する。そして、ステップS 1 8において、 $p = m$ であると判定されると、指向性パターン $D_1 \sim D_m$ から相関値が最小となる指向性パターン $D_{opt}$ を抽出する(ステップS 2 0)。無線装置30は、抽出した指向性パターン $D_{opt}$ を指向性設定部230により保持する。これにより、一連の動作は終了する。

40

【0119】

図11に示すフローチャートにおいては、無線装置30の配置位置を $m$ 個の位置に変化させ、その変化させた各位置において、無線装置30に装着されたアレーアンテナ20の指向性パターン $D_{krp}$ を図9に示す制御電圧パターン $P_{11} \sim P_{n1}$ ,  $P_{12} \sim P_{n2}$ ,  $\dots$ ,  $P_{1j} \sim P_{nj}$ に従って変化させて、秘密鍵 $K_{s111} \sim K_{s1j1}$ ,  $K_{s112} \sim K_{s1j2}$ ,  $\dots$ ,  $K_{s11m} \sim K_{s1jm}$ と、秘密鍵 $K_{s311} \sim K_{s3j1}$ ,  $K_{s312} \sim K_{s3j2}$ ,  $\dots$ ,  $K_{s31m} \sim K_{s3jm}$ との相関値が最小となる指向性パターン $D_{opt}$ を抽出する。

50



## 【 0 1 2 0 】

従って、図 1 1 に示すフローチャートに従って抽出された指向性パターン  $D_{opt}$  は、盗聴装置 5 0 が無線装置 1 0 , 3 0 に対してどのような位置に配置されていても、無線装置 1 0 , 3 0 において作成された秘密鍵  $K_{s1}$  ,  $K_{s2}$  は、盗聴装置 5 0 において作成された秘密鍵  $K_{s3}$  との相関値が最小となる秘密鍵である。即ち、秘密鍵  $K_{s1}$  ,  $K_{s2}$  は、秘密鍵  $K_{s3}$  と異なる。

## 【 0 1 2 1 】

なお、秘密鍵  $K_{s3}$  との相関値が最小となる秘密鍵  $K_{s1}$  を作成する動作は、実際には、無線装置 1 0 , 3 0 に搭載された CPU ( Central Processing Unit ) によって行なわれ、無線装置 3 0 の CPU は、図 1 1 に示す各ステップ  $S_1$  ,  $S_2$  ,  $S_4$  ,  $S_5$  ,  $S_8$  ,  $S_9$  ,  $S_{10}$  ,  $S_{12}$  ,  $S_{13}$  ,  $S_{15} \sim S_{20}$  を備えるプログラムを ROM ( Read Only Memory ) から読出し、無線装置 1 0 の CPU は、図 1 1 に示すステップ  $S_3$  ,  $S_6$  を備えるプログラムを ROM から読出し、盗聴装置 5 0 の CPU は、図 1 1 に示す各ステップ  $S_7$  ,  $S_{11}$  ,  $S_{14}$  を備えるプログラムを ROM から読出し、無線装置 1 0 , 3 0 及び盗聴装置 5 0 に搭載された 3 つの CPU は、その読出したプログラムを実行して図 1 1 に示すフローチャートに従って秘密鍵  $K_{s3}$  との相関値が最小となる秘密鍵  $K_{s1}$  を作成する。

## 【 0 1 2 2 】

従って、ROM は、秘密鍵  $K_{s3}$  との相関値が最小となる秘密鍵  $K_{s1}$  を作成する動作をコンピュータ ( CPU ) に実行させるためのプログラムを記録したコンピュータ ( CPU ) 読取り可能な記録媒体に相当する。

## 【 0 1 2 3 】

そして、図 1 1 に示す各ステップを備えるプログラムは、秘密鍵  $K_{s3}$  との相関値が最小となる秘密鍵  $K_{s1}$  の作成をコンピュータ ( CPU ) に実行させるプログラムである。

## 【 0 1 2 4 】

図 1 1 に示すフローチャートに従って秘密鍵  $K_{s2}$  ,  $K_{s3}$  の作成をシミュレートした例について説明する。図 1 2 は、シミュレーションに用いた無線装置 1 0 , 3 0 及び盗聴装置 5 0 の平面配置図である。シミュレーションに用いられた部屋 8 0 は、縦が 8 m であり、横幅が 1 0 m であり、周囲が壁 8 1 によって囲まれた部屋である。部屋 8 0 における各位置は、X 軸 - Y 軸からなる直交座標によって表わされる。

## 【 0 1 2 5 】

アレーアンテナ 2 0 を装着した無線装置 3 0 は、部屋 8 0 の中心 ( X - Y 座標の原点 ) に配置され、無線装置 1 0 は、座標 [ 3 , 1 ] に配置され、盗聴装置 5 0 は、座標 [ 2 , - 1 ] に配置された。

## 【 0 1 2 6 】

また、シミュレーションに用いられた鍵長は、1 2 8 ビットである。即ち、図 1 1 に示すフローチャートにおいて  $n = 1 2 8$  に設定された。

## 【 0 1 2 7 】

図 1 3 は、無線装置 1 0 における受信信号プロファイル RSSI 及び秘密鍵  $K_{s1}$  と盗聴装置 5 0 における受信信号プロファイル RSSI 及び秘密鍵  $K_{s3}$  とを示す図である。なお、図 1 3 の ( a ) 及び ( b ) において、横軸は、測定回数を表わし、縦軸は、受信した電波の強度を表わす。

## 【 0 1 2 8 】

図 1 3 の ( a ) は、無線装置 1 0 のプロファイル生成部 1 5 0 によって生成された受信信号プロファイル RSSI 1 1 を表わし、図 1 3 の ( b ) は、盗聴装置 5 0 のプロファイル生成部 3 2 0 によって生成された受信信号プロファイル RSSI 1 3 を表わす。また、図 1 3 の ( c ) は、無線装置 1 0 の鍵作成部 1 6 0 によって受信信号プロファイル RSSI 1 1 に基づいて作成された秘密鍵  $K_{s1}$  を表わし、図 1 3 の ( d ) は、盗聴装置 5 0 の鍵作成部 3 3 0 によって受信信号プロファイル RSSI 1 3 に基づいて作成された秘密鍵  $K_{s3}$  を表わす。

## 【 0 1 2 9 】

図 1 4 は、無線装置 3 0 のアレーアンテナ 2 0 から出射されるビームパターンであり、図 1 3 の ( a ) 及び ( b ) に示す受信信号プロファイル R S S I 1 1 , R S S I 1 3 は、この図 1 4 に示すビームパターンからなるビームを用いて測定された。

## 【 0 1 3 0 】

受信信号プロファイル R S S I 1 1 と受信信号プロファイル R S S I 1 3 との相関値は、“ 0 . 7 7 ” であり、無線装置 1 0 は、盗聴装置 5 0 における受信信号プロファイル R S S I 1 3 と異なる受信信号プロファイル R S S I 1 1 の電波を受信している。

## 【 0 1 3 1 】

この発明においては、2つの受信信号プロファイル R S S I A , R S S I B の相関値  $R_{SSI}$  は、次式により演算される。

## 【 0 1 3 2 】

$$R_{SSI} = \langle RSSIA \rangle \cdot \langle RSSIB \rangle / ( | \langle RSSIA \rangle | \times | \langle RSSIB \rangle | ) \cdot \cdot \cdot ( 1 )$$

なお、 $\langle RSSIA \rangle$  及び  $\langle RSSIB \rangle$  は、それぞれ、受信信号プロファイル R S S I A , R S S I B を構成する複数の強度を要素とするベクトルを表す。

## 【 0 1 3 3 】

従って、受信信号プロファイル R S S I 1 1 と受信信号プロファイル R S S I 1 3 との相関値を演算する場合、受信信号プロファイル R S S I 1 1 , R S S I 1 3 をそれぞれ式 ( 1 ) の  $\langle RSSIA \rangle$  及び  $\langle RSSIB \rangle$  に代入して相関値を演算する。このようにして得られた相関値が “ 0 . 7 7 ” である。

## 【 0 1 3 4 】

このように、受信信号プロファイル R S S I 1 1 と受信信号プロファイル R S S I 1 3 との相関値は、“ 0 . 7 7 ” であり、受信信号プロファイル R S S I 1 1 は、受信信号プロファイル R S S I 1 3 と相関性が低いが、無線装置 1 0 において作成された秘密鍵 K s 1 と盗聴装置 5 0 において作成された秘密鍵 K s 3 との相関値は、“ 1 ” であり、2つの秘密鍵 K s 1 , K s 3 は一致する。従って、2つの受信信号プロファイルが相互に異なる場合でも、2つの受信信号プロファイルからそれぞれ生成された2つの秘密鍵は一致する場合もある。

## 【 0 1 3 5 】

図 1 5 は、ランダムビームが用いられたときの無線装置 1 0 及び盗聴装置 5 0 における受信信号プロファイルを示す図であり、図 1 5 の ( a ) は、無線装置 1 0 のプロファイル生成部 1 5 0 によって生成された受信信号プロファイル R S S I 2 1 を表わし、図 1 5 の ( b ) は、盗聴装置 5 0 のプロファイル生成部 3 2 0 によって生成された受信信号プロファイル R S S I 2 3 を表わす。

## 【 0 1 3 6 】

式 ( 1 ) を用いて演算された受信信号プロファイル R S S I 2 1 と受信信号プロファイル R S S I 2 3 との相関値は、“ 0 . 5 ” であり、受信信号プロファイル R S S I 2 1 を中央値によってデジタル化して作成した秘密鍵 K s 1 と受信信号プロファイル R S S I 2 3 を中央値によってデジタル化して作成した秘密鍵 K s 3 との相関値は、“ 0 . 4 3 ” である。

## 【 0 1 3 7 】

このように、無線装置 3 0 のアレーアンテナ 2 0 から出射されるビームのパターンをランダムなパターンにすることによって、秘密鍵 K s 1 と秘密鍵 K s 3 との相関値を “ 1 ” から “ 0 . 4 3 ” へ大幅に低下させることができる。

## 【 0 1 3 8 】

従って、秘密鍵 K s 3 との相関値が最小になる秘密鍵 K s 1 , K s 2 を作成するためには、好ましくは、ランダムビームが用いられる。

## 【 0 1 3 9 】

図 1 6 は、マルチビームのパターンである。また、図 1 7 は、図 1 6 に示すマルチビームを用いた場合の無線装置 1 0 及び盗聴装置 5 0 における受信信号プロファイルを示す図

10

20

30

40

50

であり、図17の(a)は、無線装置10のプロファイル生成部150によって生成された受信信号プロファイルRSSI31を表わし、図17の(b)は、盗聴装置50のプロファイル生成部320によって生成された受信信号プロファイルRSSI33を表わす。

【0140】

式(1)を用いて演算された受信信号プロファイルRSSI31と受信信号プロファイルRSSI33との相関値は、“0.12”であり、受信信号プロファイルRSSI31を中央値によってデジタル化して作成した秘密鍵Ks1と受信信号プロファイルRSSI33を中央値によってデジタル化して作成した秘密鍵Ks3との相関値は、“0.11”である。

【0141】

このように、無線装置30のアレーアンテナ20から出射されるビームのパターンを図16に示すマルチビームのパターンにすることによって、秘密鍵Ks1と秘密鍵Ks3との相関値を“1”から“0.11”へ大幅に低下させることができる。

【0142】

従って、秘密鍵Ks3との相関値が最小になる秘密鍵Ks1、Ks2を作成するためには、より好ましくは、マルチビームが用いられる。

【0143】

図18は、シミュレーションに用いた無線装置10、30及び盗聴装置50の他の平面配置図である。盗聴装置50は、座標[3.11, 1.04]に配置された。即ち、盗聴装置50は、無線装置10の近傍に配置される。なお、無線装置10、30の配置位置は、図12に示す配置位置と同じである。

【0144】

図19は、図18に示す配置位置において、無線装置10における受信信号プロファイルRSSI及び秘密鍵Ks1と盗聴装置50における受信信号プロファイルRSSI及び秘密鍵Ks3とを示す図であり、図19の(a)は、無線装置10のプロファイル生成部150によって生成された受信信号プロファイルRSSI41を表わし、図19の(b)は、盗聴装置50のプロファイル生成部320によって生成された受信信号プロファイルRSSI43を表わす。また、図19の(c)は、無線装置10の鍵作成部160によって受信信号プロファイルRSSI41に基づいて作成された秘密鍵Ks1を表わし、図19の(d)は、盗聴装置50の鍵作成部330によって受信信号プロファイルRSSI43に基づいて作成された秘密鍵Ks3を表わす。

【0145】

式(1)を用いて演算された受信信号プロファイルRSSI41と受信信号プロファイルRSSI43との相関値は、“0.93”であり、無線装置10において作成された秘密鍵Ks1と盗聴装置50において作成された秘密鍵Ks3との相関値は、“0.65”である。

【0146】

従って、盗聴装置50が正規のユーザである無線装置10の極く近傍(約12cm:1波長に相当する距離)に存在していても、秘密鍵Ks3との相関値が小さい秘密鍵Ks1を作成することができる。

【0147】

図20は、無線装置10において作成された秘密鍵Ks1と盗聴装置50において作成された秘密鍵Ks3とを示す図である。図20の(a)は、図13の(a)に示す受信受信プロファイルRSSI11を4値化処理して作成した秘密鍵Ks1を表し、図20の(b)は、図13の(b)に示す受信信号プロファイルRSSI13を4値化処理して作成した秘密鍵Ks3を表わす。

【0148】

図20に示す秘密鍵Ks1と秘密鍵Ks3との相関値は、“0.63”である。従って、受信信号プロファイルRSSI11、RSSI13を4値化処理することにより、秘密鍵Ks1と秘密鍵Ks3との相関値は、“1”から“0.63”に小さくできる。

10

20

30

40

50

## 【0149】

この発明においては、鍵作成部160は、プロファイル作成部150から受けた受信信号プロファイルを複数の基準値によって多値化して秘密鍵 $K_{s1}$ 、 $K_{s2}$ を作成してもよい。

## 【0150】

上述したように、この発明においては、図11に示すフローチャートに従って制御電圧パターン $P_{1opt} \sim P_{nopt}$ を決定すれば、秘密鍵 $K_{s3}$ との相関値が最小である秘密鍵 $K_{s1}$ 、 $K_{s2}$ を作成できるが、図11に示すフローチャートを実行しても、秘密鍵 $K_{s3}$ との相関値が最小である秘密鍵 $K_{s1}$ 、 $K_{s2}$ を作成できない場合、上述したように、ビームパターンをマルチビームパターン(図16参照)またはランダムパターンに変えて図11に示すフローチャートを実行してもよく、鍵作成部160において受信信号プロファイルRSSIを多値化処理するようにしてもよい。

10

## 【0151】

これにより、秘密鍵 $K_{s3}$ との相関値が最小である秘密鍵 $K_{s1}$ 、 $K_{s2}$ をより正確に作成できる。

## 【0152】

図21は、図1に示す2つの無線装置10、30間で通信を行なう動作を説明するためのフローチャートである。一連の動作が開始されると、無線装置30の送信処理部120は、 $k=1$ を設定する(ステップS31)。そして、指向性設定部230は、パターンP1によりアレーアンテナ20の指向性を1つの指向性 $D_{kopt}$ に設定する(ステップS32)。即ち、指向性設定部230は、図11に示すフローチャートに従って決定された指向性パターン $D_{opt}$ の最初の指向性にアレーアンテナ20の指向性を設定する。

20

## 【0153】

その後、無線装置10の信号発生部110は、所定の信号を発生して送信処理部120へ出力する。送信処理部120は、所定の信号に変調等の処理を施し、アンテナ11を介して無線装置30へ所定の信号を構成する電波を送信する(ステップS33)。

## 【0154】

無線装置30において、アレーアンテナ20は、無線装置10からの電波を受信し、その受信した電波をプロファイル生成部150へ出力する。プロファイル生成部150は、アレーアンテナ20から受けた電波の強度 $I_{1k}$ を検出する(ステップS34)。

30

## 【0155】

その後、無線装置30の信号発生部110は、所定の信号を発生して送信処理部120へ出力する。送信処理部120は、所定の信号に変調等の処理を施し、アレーアンテナ20を介して無線装置10へ所定の信号を構成する電波を送信する(ステップS35)。

## 【0156】

無線装置10において、アンテナ11は、無線装置30からの電波を受信し、その受信した電波をプロファイル生成部150へ出力する。プロファイル生成部150は、アンテナ11から受けた電波の強度 $I_{2k}$ を検出する(ステップS36)。

## 【0157】

その後、無線装置30の送信処理部120は、 $k=n$ であるか否かを判定する(ステップS37)。そして、 $k=n$ でないとき、送信処理部120は、 $k=k+1$ を設定し(ステップS38)、ステップS32~S38が繰返し実行される。即ち、アレーアンテナ20の指向性がパターンP1~Pnによってn個に変えられて、無線装置10のアンテナ11と無線装置30のアレーアンテナ20との間で所定の信号を構成する電波が送受信され、強度 $I_{11} \sim I_{1n}$ 及び $I_{21} \sim I_{2n}$ が検出されるまで、ステップS32~S38が繰返し実行される。

40

## 【0158】

ステップS37において、 $k=n$ であると判定されると、無線装置30において、プロファイル生成部150は、強度 $I_{11} \sim I_{1n}$ から受信信号プロファイルRSSI1を作成して鍵作成部160へ出力する。

50

## 【 0 1 5 9 】

鍵作成部 1 6 0 は、受信信号プロファイル R S S I 1 から中央値 W I c e n t 1 を検出し、その検出した中央値 W I c e n t 1 によって受信信号プロファイル R S S I 1 をデジタル化し、強度 I 1 1 ~ I 1 n を 2 値化する。そして、鍵作成部 1 6 0 は、2 値化した各値をビットパターンとする秘密鍵 K s 2 を生成する（ステップ S 3 9 ）。

## 【 0 1 6 0 】

また、無線装置 1 0 のプロファイル生成部 1 5 0 は、強度 I 2 1 ~ I 2 n から受信信号プロファイル R S S I 2 を作成して鍵作成部 1 6 0 へ出力する。鍵作成部 1 6 0 は、受信信号プロファイル R S S I 2 から中央値 W I c e n t 2 を検出し、その検出した中央値 W I c e n t 2 によって受信信号プロファイル R S S I 2 をデジタル化し、強度 I 2 1 ~ I 2 n を 2 値化する。そして、鍵作成部 1 6 0 は、2 値化した各値をビットパターンとする秘密鍵 K s 1 を生成する（ステップ S 4 0 ）。

10

## 【 0 1 6 1 】

その後、無線装置 1 0 において、鍵作成部 1 6 0 は、秘密鍵 K s 1 を鍵一致確認部 1 7 0 へ出力する。鍵一致確認部 1 7 0 のデータ発生部 1 7 1 は、上述した方法によって鍵確認用データ D C F M 1 を発生して送信処理部 1 2 0 及びデータ比較部 1 7 2 へ出力する。送信処理部 1 2 0 は、鍵確認用データ D C F M 1 に変調等の処理を施し、アンテナ部 1 3 0 を介して無線装置 3 0 へ鍵確認用データ D C F M 1 を送信する。

## 【 0 1 6 2 】

そして、アンテナ部 1 3 0 は、無線装置 3 0 において発生された鍵確認用データ D C F M 2 を無線装置 3 0 から受信し、その受信した鍵確認用データ D C F M 2 を受信処理部 1 4 0 へ出力する。受信処理部 1 4 0 は、鍵確認用データ D C F M 2 に所定の処理を施し、鍵一致確認部 1 7 0 のデータ比較部 1 7 2 へ鍵確認用データ D C F M 2 を出力する。

20

## 【 0 1 6 3 】

データ比較部 1 7 2 は、データ発生部 1 7 1 からの鍵確認用データ D C F M 1 を受信処理部 1 4 0 からの鍵確認用データ D C F M 2 と比較する。そして、データ比較部 1 7 2 は、鍵確認用データ D C F M 1 が鍵確認用データ D C F M 2 に一致しているとき、一致信号 M T H を生成して結果処理部 1 7 3 へ出力する。結果処理部 1 7 3 は、一致信号 M T H に応じて、鍵作成部 1 6 0 からの秘密鍵 K s 1 を鍵記憶部 1 8 0 に記憶する。

## 【 0 1 6 4 】

一方、鍵確認用データ D C F M 1 が鍵確認用データ D C F M 2 に不一致であるとき、データ比較部 1 7 2 は、不一致信号 N M T H を生成して送信処理部 1 2 0 及び鍵一致化部 1 9 0 へ出力する。送信処理部 1 2 0 は、不一致信号 N M T H をアンテナ部 1 3 0 を介して無線装置 3 0 へ送信する。そして、無線装置 3 0 は、無線装置 1 0 において秘密鍵 K s 1 , K s 2 の不一致が確認されたことを検知する。

30

## 【 0 1 6 5 】

これにより、無線装置 1 0 における鍵一致の確認が終了する（ステップ S 4 1 ）。

## 【 0 1 6 6 】

無線装置 3 0 においても、無線装置 1 0 と同じ動作によって鍵一致の確認が行なわれる（ステップ S 4 2 ）。

40

## 【 0 1 6 7 】

ステップ S 4 1 において、秘密鍵 K s 1 , K s 2 の不一致が確認されたとき、無線装置 1 0 において、鍵一致化部 1 9 0 の擬似シンドローム作成部 1 9 1 は、鍵一致確認部 1 7 0 から不一致信号 N M T H を受ける。そして、擬似シンドローム作成部 1 9 1 は、不一致信号 N M T H に応じて、鍵作成部 1 6 0 から受けた秘密鍵 K s 1 のビットパターン  $x_1$  を検出し、その検出したビットパターン  $x_1$  のシンドローム  $s_1 = x_1 H^T$  を演算する。

## 【 0 1 6 8 】

擬似シンドローム作成部 1 9 1 は、演算したシンドローム  $s_1 = x_1 H^T$  を不一致ビット検出部 1 9 2 へ出力し、ビットパターン  $x_1$  を鍵不一致訂正部 1 9 3 へ出力する。

## 【 0 1 6 9 】

50

一方、無線装置30は、ステップS11において無線装置10から不一致信号NMT Hを受信し、その受信した不一致信号NMT Hに応じて、シンドローム  $s_2 = x_2 H^T$  を演算して無線装置10へ送信する。

【0170】

無線装置10のアンテナ部130は、無線装置30からシンドローム  $s_2 = x_2 H^T$  を受信して受信処理部140へ出力する。受信処理部140は、シンドローム  $s_2 = x_2 H^T$  に対して所定の処理を施し、シンドローム  $s_2 = x_2 H^T$  を鍵一致化部190へ出力する。

【0171】

鍵一致化部190の不一致ビット検出部192は、受信処理部140から無線装置30において作成されたシンドローム  $s_2 = x_2 H^T$  を受ける。そして、不一致ビット検出部192は、無線装置10で作成されたシンドローム  $s_1 = x_1 H^T$  と無線装置30において作成されたシンドローム  $s_2 = x_2 H^T$  との差分  $s = s_1 - s_2$  を演算する。

【0172】

その後、不一致ビット検出部192は、 $s = 0$ であることを確認し、鍵不一致のビットパターン  $e = x_1 - x_2$  を  $s = e H^T$  に基づいて演算し、その演算した鍵不一致のビットパターン  $e$  を鍵不一致訂正部193へ出力する。

【0173】

鍵不一致訂正部193は、擬似シンドローム作成部191からのビットパターン  $x_1$  と、不一致ビット検出部192からの鍵不一致のビットパターン  $e$  とに基づいて、無線装置30において作成された秘密鍵  $K_{s2}$  のビットパターン  $x_2 = x_1 - e$  を演算する。

【0174】

そして、データ発生部194、データ比較部195及び結果処理部196は、鍵一致確認部170における鍵一致確認の動作と同じ動作によって、一致化された鍵  $x_2 = x_1 - e$  の一致を確認する。

【0175】

これにより、鍵不一致対策が終了する(ステップS43)。

【0176】

無線装置30においても、無線装置10と同じ動作によって鍵不一致対策が行なわれる(ステップS44)。

【0177】

ステップS11において、秘密鍵  $K_{s1}$  が秘密鍵  $K_{s2}$  に一致することが確認されたとき、またはステップS43において鍵不一致対策がなされたとき、暗号部200は、鍵記憶部180から秘密鍵  $K_{s1}$  を読出して送信データを暗号化し、暗号化した送信データを送信処理部120へ出力する。そして、送信処理部120は、暗号化された送信データに変調等を施し、アンテナ部130を介して暗号化された送信データを無線装置30へ送信する。

【0178】

また、アンテナ部130は、暗号化された送信データを無線装置30から受信し、その受信した暗号化された送信データを受信処理部140へ出力する。受信処理部140は、暗号化された送信データに所定の処理を施し、暗号化された送信データを復号部210へ出力する。

【0179】

復号部210は、受信処理部140からの暗号化された送信データを復号して受信データを取得する。

【0180】

これにより、秘密鍵  $K_{s1}$  による暗号・復号が終了する(ステップS45)。

【0181】

無線装置30においても、無線装置10と同じ動作によって秘密鍵  $K_{s2}$  による暗号・復号が行なわれる(ステップS46)。そして、一連の動作が終了する。

10

20

30

40

50

## 【 0 1 8 2 】

上述したステップ S 3 3 , S 3 4 に示す動作は、無線装置 3 0 において受信信号プロファイル R S S I 1 を生成するための電波を無線装置 1 0 のアンテナ 1 1 から無線装置 3 0 のアレーアンテナ 2 0 へ送信し、かつ、無線装置 3 0 において電波の強度 I 1 k を検出する動作であり、ステップ S 3 5 , S 3 6 に示す動作は、無線装置 1 0 において受信信号プロファイル R S S I 2 を生成するための電波を無線装置 3 0 のアレーアンテナ 2 0 から無線装置 1 0 のアンテナ 1 1 へ送信し、かつ、無線装置 1 0 において電波の強度 I 2 k を検出する動作である。そして、所定の信号を構成する電波の無線装置 1 0 のアンテナ 1 1 から無線装置 3 0 のアレーアンテナ 2 0 への送信及び所定の信号を構成する電波の無線装置 3 0 のアレーアンテナ 2 0 から無線装置 1 0 のアンテナ 1 1 への送信は、アレーアンテナ 2 0 の指向性を 1 つの指向性に設定して交互に行なわれる。つまり、所定の信号を構成する電波は、無線装置 1 0 のアンテナ 1 1 と無線装置 3 0 のアレーアンテナ 2 0 との間で時分割復信 ( T D D ) 等により送受信される。

10

## 【 0 1 8 3 】

従って、アレーアンテナ 2 0 の指向性を 1 つの指向性に設定して無線装置 1 0 のアンテナ 1 1 から無線装置 3 0 のアレーアンテナ 2 0 へ所定の信号を構成する電波を送信し、無線装置 3 0 において電波の強度 I 1 k を検出した直後に、同じ所定の信号を構成する電波を無線装置 3 0 のアレーアンテナ 2 0 から無線装置 1 0 のアンテナ 1 1 へ送信し、無線装置 1 0 において電波の強度 I 2 k を検出することができる。その結果、無線装置 1 0 , 3 0 間において同じ伝送路特性を確保して所定の信号を構成する電波を無線装置 1 0 , 3 0 間で送受信でき、電波の可逆性により電波の強度 I 1 1 ~ I 1 n をそれぞれ電波の強度 I 2 1 ~ I 2 n に一致させることができる。そして、無線装置 1 0 において作成される秘密鍵 K s 1 を無線装置 3 0 において作成される秘密鍵 K s 2 に容易に一致させることができる。

20

## 【 0 1 8 4 】

また、所定の信号を構成する電波は、無線装置 1 0 , 3 0 間で時分割復信 ( T D D ) 等により送受信されるので、電波の干渉を抑制して 1 つのアレーアンテナ 2 0 を介して所定の信号を構成する電波を無線装置 1 0 , 3 0 間で送受信できる。

## 【 0 1 8 5 】

更に、鍵確認用データ D C F M 1 ~ 4 は、秘密鍵 K s 1 , K s 2 に非可逆的な演算、または一方向的な演算を施して発生されるので、鍵確認用データ D C F M 1 ~ 4 が盗聴されても秘密鍵 K s 1 , K s 2 が解読される危険性を極めて低くできる。

30

## 【 0 1 8 6 】

更に、シンドローム s 1 , s 2 は、秘密鍵 K s 1 , K s 2 のビットパターンを示す鍵  $x_1$  ,  $x_2$  に検査行列 H の転置行列  $H^T$  を乗算して得られるので、シンドローム s 1 , s 2 が盗聴されても直ちに情報のビットパターンが推測されることは特殊な符号化を想定しない限り起こらない。従って、盗聴を抑制して秘密鍵を一致させることができる。

## 【 0 1 8 7 】

なお、無線装置 1 0 , 3 0 間で通信を行なう動作は、実際には、CPU によって行なわれ、無線装置 1 0 に搭載された CPU は、図 2 1 に示す各ステップ S 3 3 , S 3 6 , S 4 0 , S 4 1 , S 4 3 , S 4 5 を備えるプログラムを ROM から読み出し、無線装置 3 0 に搭載された CPU は、図 2 1 に示す各ステップ S 3 1 , S 3 2 , S 3 4 , S 3 5 , S 3 7 , S 3 8 , S 3 9 , S 4 2 , S 4 4 , S 4 6 を備えるプログラムを ROM から読み出し、無線装置 1 0 , 3 0 に搭載された 2 つの CPU は、その読み出したプログラムを実行して図 2 1 に示すフローチャートに従って無線装置 1 0 , 3 0 間で通信を行なう。

40

## 【 0 1 8 8 】

従って、ROM は、無線装置 1 0 , 3 0 間で通信を行なう動作をコンピュータ ( CPU ) に実行させるためのプログラムを記録したコンピュータ ( CPU ) 読み取り可能な記録媒体に相当する。

## 【 0 1 8 9 】

50

そして、図 21 に示す各ステップを備えるプログラムは、アレーアンテナ 20 の指向性を複数個に順次変えて受信した複数の電波に基づいて、無線装置 10, 30 間における通信をコンピュータ (CPU) に実行させるプログラムである。

【0190】

上記においては、電氣的に指向性を切換え可能なアレーアンテナ 20 を無線装置 30 のみに装着すると説明したが、この発明においては、アレーアンテナ 20 は、無線装置 10 及び 30 の両方に装着されてもよい。

【0191】

即ち、この発明においては、アレーアンテナ 20 は、2 つの無線装置 10, 30 のうち、少なくとも一方の無線装置に装着されていればよい。

10

【0192】

また、この発明においては、秘密鍵  $K_{s1}$ ,  $K_{s2}$  の鍵長は、無線装置 10, 30 間の通信環境に応じて決定されてもよい。即ち、無線装置 10, 30 間の通信環境が盗聴し易い環境であるとき、秘密鍵  $K_{s1}$ ,  $K_{s2}$  の鍵長を相対的に長くし、無線装置 10, 30 間の通信環境が盗聴しにくい環境であるとき、秘密鍵  $K_{s1}$ ,  $K_{s2}$  の鍵長を相対的に短くする。

【0193】

更に、定期的に秘密鍵  $K_{s1}$ ,  $K_{s2}$  の鍵長を変えるようにしてもよい。

【0194】

更に、無線装置 10, 30 間で送受信する情報の機密性に応じて秘密鍵  $K_{s1}$ ,  $K_{s2}$  の鍵長を変えるようにしてもよい。即ち、情報の機密性が高いとき秘密鍵  $K_{s1}$ ,  $K_{s2}$  の鍵長を相対的に長くし、情報の機密性が低いとき秘密鍵  $K_{s1}$ ,  $K_{s2}$  の鍵長を相対的に短くする。

20

【0195】

そして、この鍵長は、アレーアンテナ 20 の指向性を変化させる個数、即ち、制御電圧  $CLV1 \sim CLVn$  の個数により制御される。秘密鍵  $K_{s1}$ ,  $K_{s2}$  は、検出された電波の強度  $I_{11} \sim I_{1n}$ ,  $I_{21} \sim I_{2n}$  の個数からなるビットパターンを有し、電波の強度  $I_{11} \sim I_{1n}$ ,  $I_{21} \sim I_{2n}$  の個数は、アレーアンテナ 20 の指向性を変化させる個数に等しいからである。つまり、制御電圧  $CLV1 \sim CLVn$  の個数により秘密鍵  $K_{s1}$ ,  $K_{s2}$  の鍵長を制御できる。

30

【0196】

このように、この発明においては、秘密鍵  $K_{s1}$ ,  $K_{s2}$  の鍵長は、電氣的に指向性を切換え可能なアレーアンテナ 20 の指向性を変化させる個数によって決定される。

【0197】

更に、上記においては、2 つの無線装置間において秘密鍵を生成する場合、即ち、1 つの無線装置が 1 つの無線装置と通信する場合について説明したが、この発明は、これに限らず、1 つの無線装置が複数の無線装置と通信する場合についても適用される。この場合、1 つの無線装置は、通信の相手毎にアレーアンテナ 20 の指向性の切換パターンを変えて秘密鍵を生成する。1 つの無線装置は、アレーアンテナ 20 の指向性の切換パターンを 1 つに固定して複数の無線装置との間で秘密鍵を生成することも可能であるが (複数の無線装置の設置場所によって 1 つの無線装置との伝送路が異なるので、通信の相手毎に異なる秘密鍵を生成できる)、盗聴を効果的に抑制するには、通信の相手毎にアレーアンテナ 20 の指向性の切換パターンを変えて秘密鍵を生成するのが好ましい。

40

【0198】

今回開示された実施の形態はすべての点で例示であって制限的なものではないと考えられるべきである。本発明の範囲は、上記した実施の形態の説明ではなくて特許請求の範囲によって示され、特許請求の範囲と均等の意味および範囲内でのすべての変更が含まれることが意図される。

【産業上の利用可能性】

【0199】

50



この発明は、秘密鍵の盗聴を抑制可能な無線通信システムに適用される。また、この発明は、2つの秘密鍵の相関値が最小になるように無線通信システムにおいて用いられる秘密鍵の作成をコンピュータに実行させるためのプログラムに適用される。

【図面の簡単な説明】

【0200】

【図1】この発明の実施の形態による無線通信システムの概略図である。

【図2】図1に示す一方の無線装置の内部構成を示す概略ブロック図である。

【図3】図1に示す他方の無線装置の概略ブロック図である。

【図4】図3に示す指向性設定部の概略ブロック図である。

【図5】図1に示す盗聴装置の概略ブロック図である。

10

【図6】図2及び図3に示す鍵一致確認部の概略ブロック図である。

【図7】図2及び図3に示す鍵一致化部の概略ブロック図である。

【図8】受信信号プロファイルRSSIの概念図である。

【図9】図8に示すパターンP1～Pnを決定するための制御電圧パターンと受信信号プロファイルを示す図である。

【図10】2つの秘密鍵の相関値を演算する概念図である。

【図11】盗聴装置において作成される秘密鍵との相関値が最小である秘密鍵を無線装置において作成するためのアレーアンテナの指向性パターンを決定する動作を説明するためのフローチャートである。

【図12】シミュレーションに用いた無線装置及び盗聴装置の平面配置図である。

20

【図13】無線装置における受信信号プロファイルRSSI及び秘密鍵Ks1と盗聴装置における受信信号プロファイルRSSI及び秘密鍵Ks3とを示す図である。

【図14】無線装置のアレーアンテナから出射されるビームパターンである。

【図15】ランダムビームが用いられたときの無線装置及び盗聴装置における受信信号プロファイルを示す図である。

【図16】マルチビームのパターンである。

【図17】図16に示すマルチビームを用いた場合の無線装置及び盗聴装置における受信信号プロファイルを示す図である。

【図18】シミュレーションに用いた無線装置及び盗聴装置の他の平面配置図である。

【図19】図18に示す配置位置において、無線装置における受信信号プロファイルRSSI及び秘密鍵Ks1と盗聴装置における受信信号プロファイルRSSI及び秘密鍵Ks3とを示す図である。

30

【図20】無線装置において作成された秘密鍵Ks1と盗聴装置において作成された秘密鍵Ks3とを示す図である。

【図21】図1に示す2つの無線装置間で通信を行なう動作を説明するためのフローチャートである。

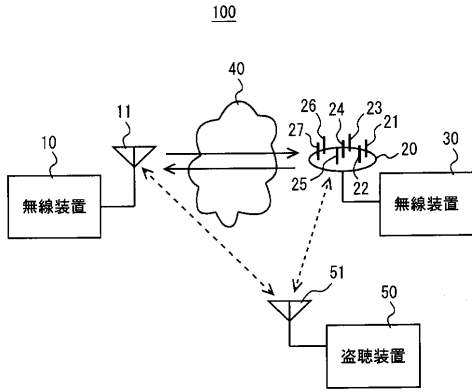
【符号の説明】

【0201】

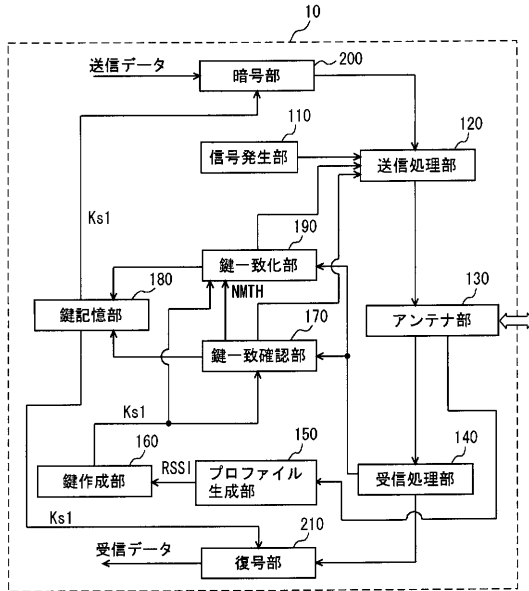
10, 30 無線装置、11, 51 アンテナ、20 アレーアンテナ、21～27  
アンテナ素子、40 中間物、50 盗聴装置、60, 70 秘密鍵、80 部屋、81  
壁、100 無線通信システム、110 信号発生部、120 送信処理部、130,  
220, 310 アンテナ部、140 受信処理部、150, 320 プロファイル生成  
部、160, 330 鍵作成部、170 鍵一致確認部、171, 194 データ発生部  
、172, 195 データ比較部、173, 196 結果処理部、180 鍵記憶部、1  
90 鍵一致化部、191 擬似シンドローム作成部、192 不一致ビット検出部、1  
93 鍵不一致訂正部、200 暗号部、210 復号部、230 指向性設定部、23  
1 制御電圧発生回路、232 パラクタダイオード、240 鍵受信部、250 鍵相  
関処理部、340 鍵送信部。

40

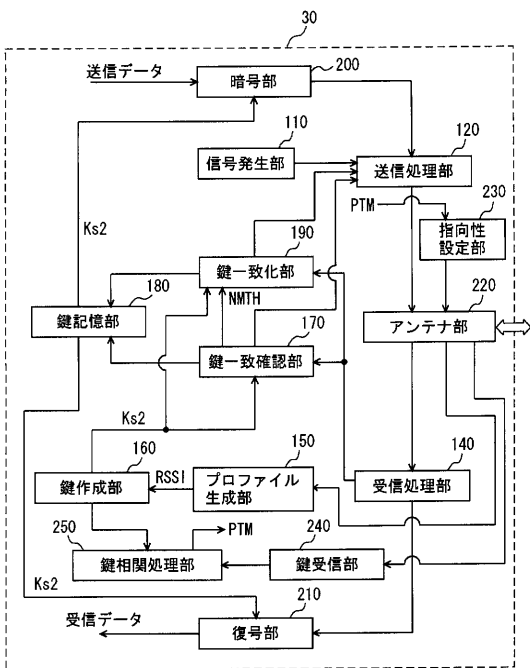
【図1】



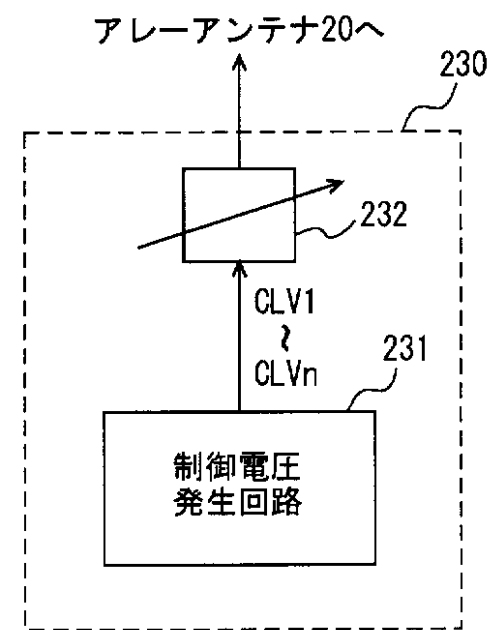
【図2】



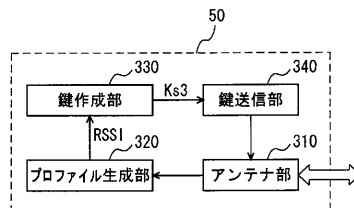
【図3】



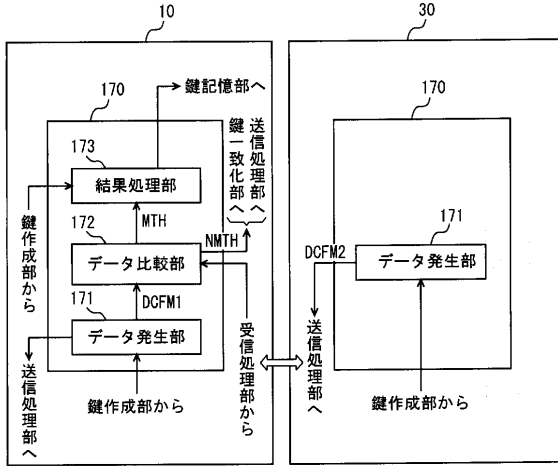
【図4】



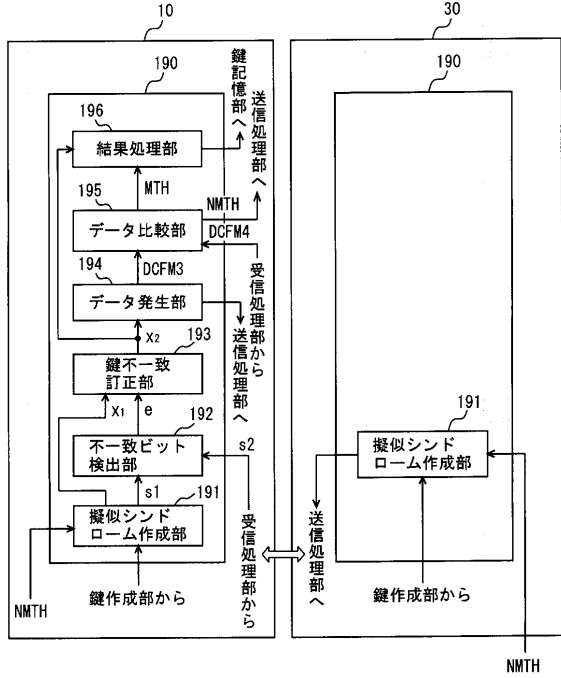
【図5】



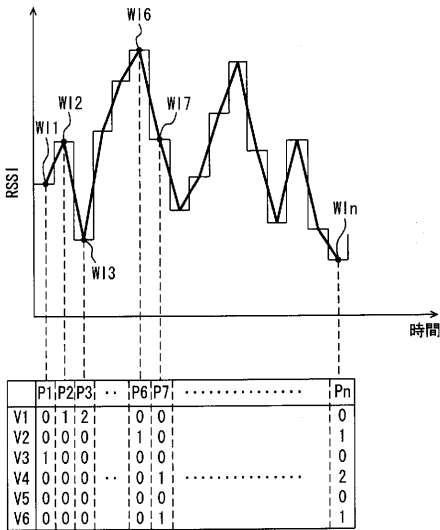
【図6】



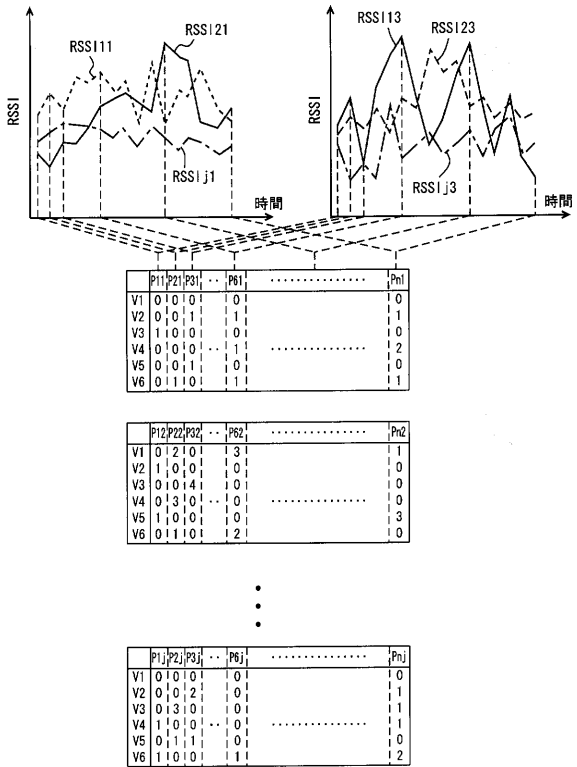
【図7】



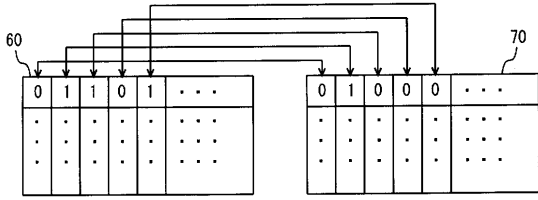
【図8】



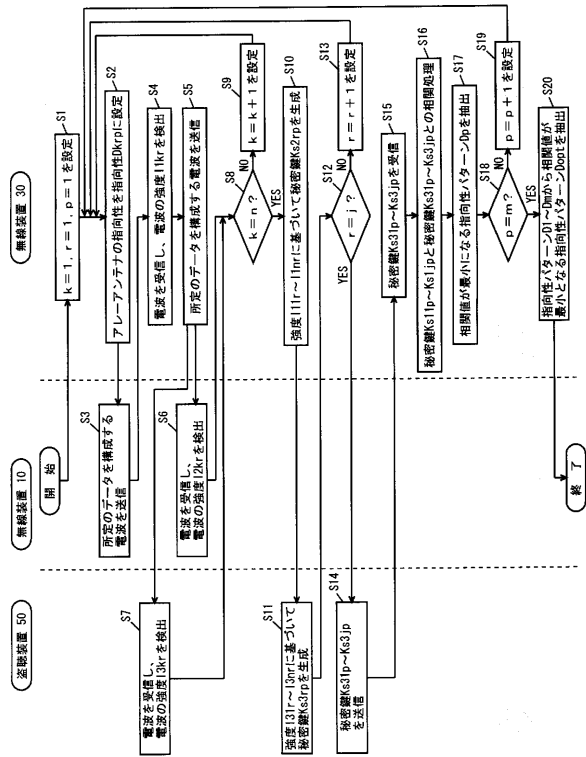
【図9】



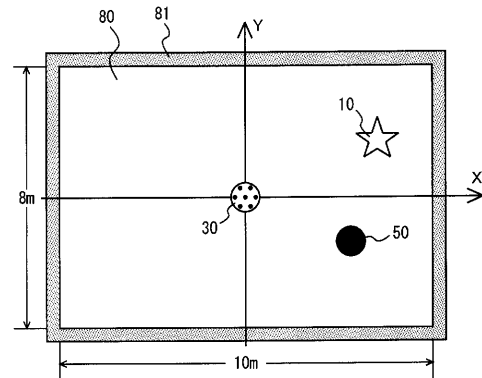
【図10】



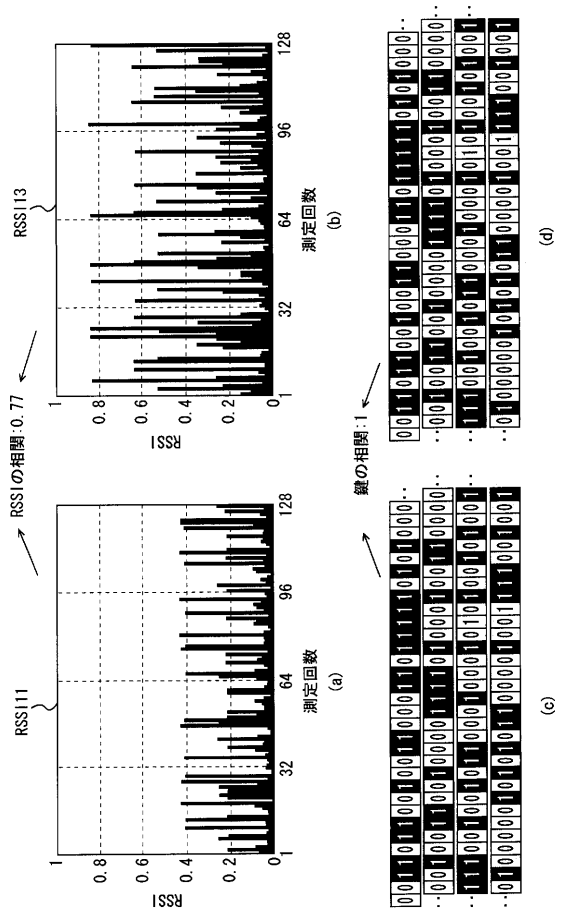
【図11】



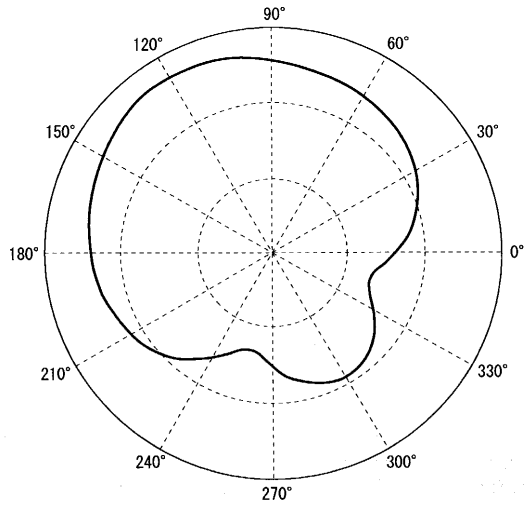
【図12】



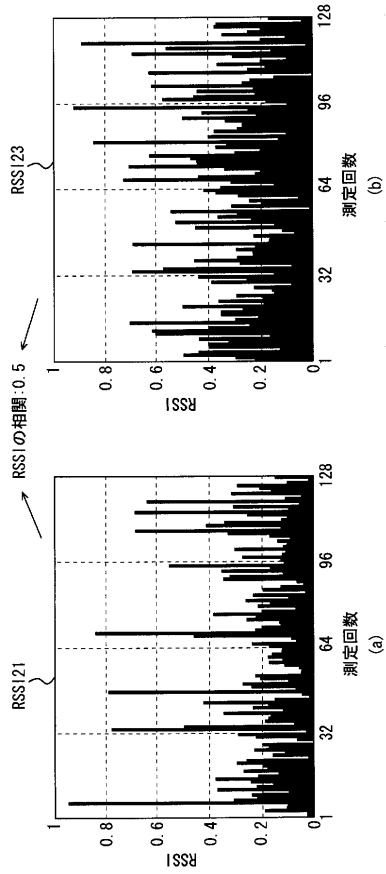
【図13】



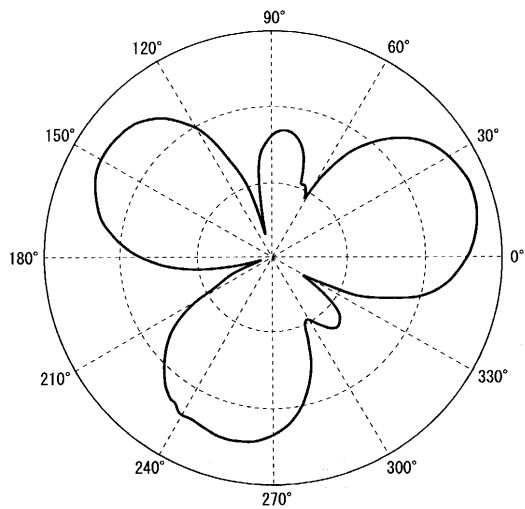
【図 14】



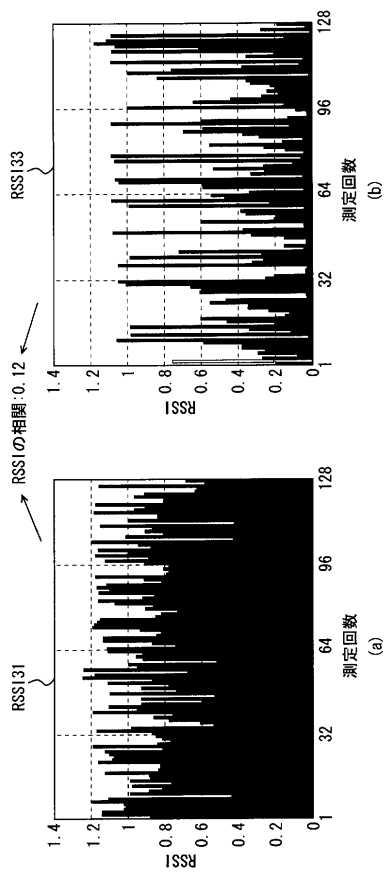
【図 15】



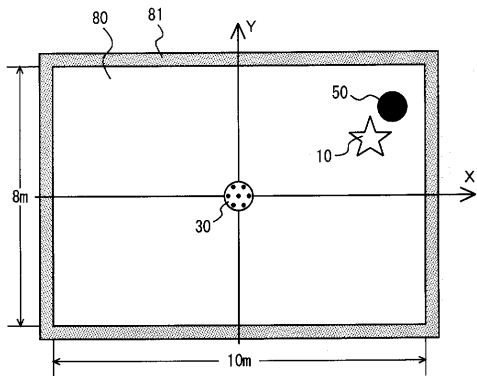
【図 16】



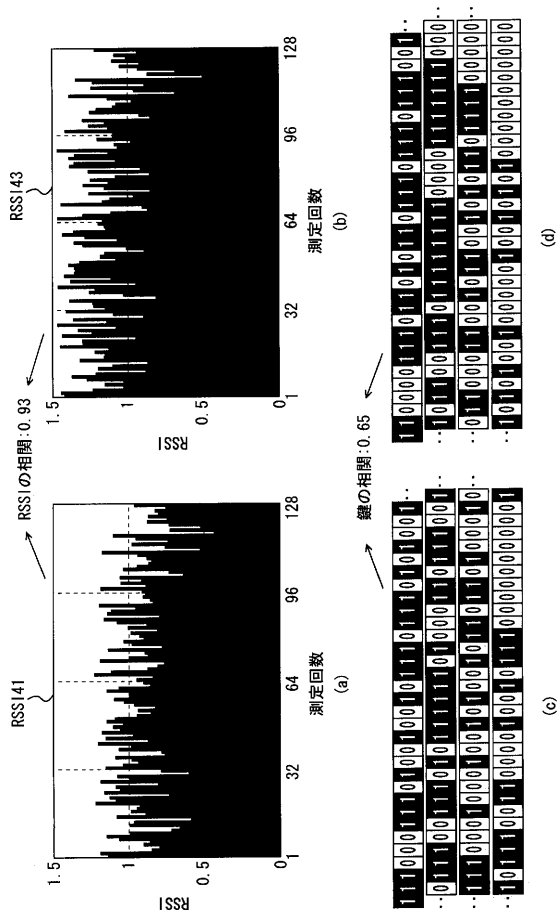
【図 17】



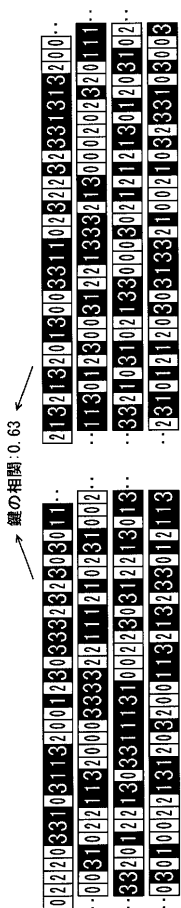
【 図 18 】



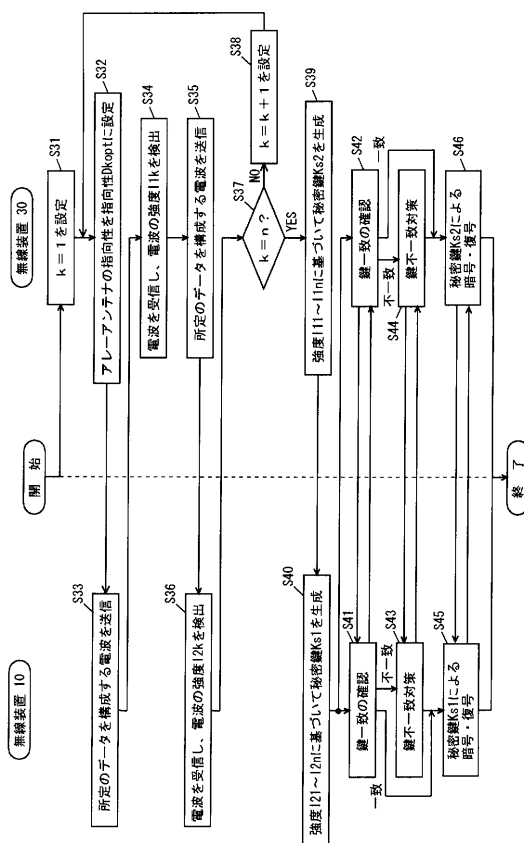
【 図 19 】



【 図 20 】



【 図 21 】



---

フロントページの続き

- (72)発明者 北浦 明人  
京都府京田辺市多々羅都谷 1 - 3 同志社大学内
- (72)発明者 大平 孝  
京都府相楽郡精華町光台二丁目 2 番地 2 株式会社国際電気通信基礎技術研究所内
- (72)発明者 青野 智之  
京都府相楽郡精華町光台二丁目 2 番地 2 株式会社国際電気通信基礎技術研究所内
- (72)発明者 俵 覚  
京都府相楽郡精華町光台二丁目 2 番地 2 株式会社国際電気通信基礎技術研究所内

審査官 中元 淳二

- (56)参考文献 国際公開第 0 3 / 0 7 3 6 8 9 ( WO , A 1 )  
M. Orihashi et al. , Proposal of channel synthesized modulation for secured access on p  
hysical layer , Vehicular technology conference, 2003. VTC 2003-Spring. The 57th IEEE S  
emiannual , 2 0 0 3 年 4 月 2 2 日 , Vol.4 , pp.2638-2642

- (58)調査した分野(Int.Cl. , D B 名)
- |         |           |
|---------|-----------|
| H 0 4 W | 8 8 / 0 2 |
| H 0 4 L | 9 / 0 8   |
| H 0 4 W | 1 2 / 0 4 |